



Operační program  
Doprava




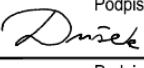
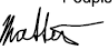

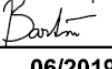


Evropské unie

investice do vaší budoucnosti

Fond soudržnosti

Souřadnicový systém S-JTSK  
Výškový systém Bpv

Změna:		Název změny:	Datum:	Provedl:	Podpis:		
Investor:		 <b>SZDC</b> Správa železniční dopravní cesty, státní organizace Dlážděná 1003/7 110 00 Praha 1			kontaktní adresa: Správa železniční dopravní cesty, s.o. Stavební správa západ Sokolovská 1955/278, 190 00 Praha 9		
METROPROJEKT Praha a.s. nám. I. P. Pavlova 2/1786 120 00 Praha 2 generální ředitel: Ing. David Krása tel.: +420 296 154 105 www.metroprojekt.cz info@metroprojekt.cz		Hlavní projektant:  <b>METROPROJEKT</b>			Souprava číslo:		
HIP: Ing. Petr Hofman  tel.: +420 296 154 115 Garant profese: Ing. Jan Pešata Stupeň: PŘÍPRAVNÁ DOKUMENTACE STAVBY		Název a účel díla: <b>OPTIMALIZACE TRATI KARLŠTEJN (mimo) – BEROUN (mimo)</b>					
Zpracovatelský útvar: <b>S52 - stavební 296 154 349</b> Vedoucí útvaru: Roman Dušek  Odpovědný projektant: Ing. Jakub Mattuš 		Název části díla: <b>STAVEBNÍ ČÁST INŽENÝRSKÉ OBJEKTY MOSTY, PROPUSTKY, ZDI ŽELEZNIČNÍ PROPUSTKY</b>			E E.1 E.1.4		
Vypracoval: Ing. Jakub Mattuš  Kontroloval: Bc. Pavel Bartoň  Skart. znak: V20/2040 Datum: 06/2019 Počet formátů: - Měřítko: -		Název přílohy: <b>SO 13-38-11 PROPUSTEK V EV. KM 33,835</b>			Složka: E.1.4.17 Číslo příl.: 000		
IČD:		17	7171	05	01	04	17



# SO 13-38-11

## PROPUSTEK V EV. KM 33,835

### Seznam příloh:

- 001. Technická zpráva
- 002. Situace M 1:1000
- 003. Půdorys - nový stav
- 004. Podélný řez - stávající stav
- 005. Příčný řez - stávající stav
- 006. Podélný řez - nový stav
- 007. Příčný řez - nový stav

Název akce	Optimalizace trati Karlštejn (mimo) - Beroun (mimo)	stránka	/	celkem
Vypracoval	Ing. Jakub Mattuš	2	/	67

# SO 13-38-11

## PROPUSTEK V EV. KM 33,835

### 001. Technická zpráva

#### OBSAH:

A. IDENTIFIKAČNÍ ÚDAJE .....	4
B. ÚVOD .....	5
C. ZÁKLADNÍ ÚDAJE O DOSAVADNÍM STAVU PROPUSTKU .....	6
D. POPIS PROPUSTKU - NOVÝ STAV .....	7
E. NORMY, PŘEDPISY A ODCHYLKY .....	11
F. HLAVNÍ SOUVISEJÍCÍ OBJEKTY .....	12
G. ZPŮSOB PROVÁDĚNÍ A STAVEBNÍ POSTUPY .....	13
H. POŽADAVKY NA DOPLNĚNÍ PRŮZKUMŮ A PODKLADŮ .....	13
I. DOKLADY O PROJEDNÁNÍ .....	14
J. GEOLOGICKÝ PRŮZKUM .....	15
K. STATICKÉ POSOUZENÍ .....	26
L. HYDROTECHNICKÉ POSOUZENÍ .....	64
M. VÝKAZ VÝMĚR .....	67



# TECHNICKÁ ZPRÁVA

## A. IDENTIFIKAČNÍ ÚDAJE

**Název stavby :** „Optimalizace trati Karlštejn (mimo) - Beroun (mimo)“

**Objekt :** SO 13-38-11 - Propustek v km 33,835

**Objednatel (investor) :** Správa železniční dopravní cesty, s.o. (SŽDC s.o.)  
Dlážděná 1003/7, Praha 1, 110 15  
- zastoupený SŽDC, Stavební správa západ  
Sokolovská 278/1955, Praha 9, 190 00

**Správce objektu :** SŽDC s.o., SDC Praha, Správa mostů a tunelů

**Odpovědný projektant stavby :** Ing. Hofman Petr  
METROPROJEKT Praha a.s.  
I. P. Pavlova 2/1786, Praha 2

**Odpovědný projektant objektu :** Ing. Jakub Matuší  
METROPROJEKT Praha a.s.  
I. P. Pavlova 2/1786, Praha 2

**Kraj :** Středočeský kraj

**Pověřená obec :** Tetín (531839)

**Katastrální území :** Tetín u Berouna (766917)

**Překonávaná překážka :** -

**Datum :** listopad 2017

**Stupeň dokumentace :** přípravná dokumentace (dokumentace pro územní rozhodnutí), záměr projektu

Název akce	Optimalizace trati Karlštejn (mimo) - Beroun (mimo)	stránka	/	celkem
Vypracoval	Ing. Jakub Matuší	4	/	67



## **B. ÚVOD**

Předmětem přípravné dokumentace je projekt přestavby železničního propustku v ev. km 33,835 (nový km 33,801.166). Propustek převádí vodu z levé strany trati na pravou. Stávající nevyhovující nosná konstrukce bude nahrazena novým ŽB rámem. Profil propustku byl navržen s ohledem na hydrotechnický výpočet. Propustek převádí vodu z levé strany trati na pravou. Nosnou konstrukci tvoří železobetonový rám o jednom poli z betonu C 30/37. Založení propustku je navrženo plošné. Délka přemostění mostního otvoru je 1,9 m, světlá výška propustku je 2,44 m a celková šířka propustku je 18,07 m. Křídla propustku jsou rovnoběžná a šikmá. Na propustku bude provedeno částečně otevřené šterkové lože s dostatkem místa na umístění TK žlabů. Na propustku bude provedeno ZKPP. Profil propustku byl navržen s ohledem na hydrotechnický výpočet.

Stavba bude probíhat v návaznosti na etapy výluk na trati.

Uvedené stavební činnosti jsou v souladu s projednáním na výrobních poradách konaných k tomuto objektu.

Přestavba propustku je součástí akce „Optimalizace trati Karlštejn (mimo) - Beroun (mimo)“.

### **Údaje o trati :**

- propustek je v mezistaničním úseku :
  - TÚ 0202 Praha - Plzeň
  - mezistaniční úsek DÚ 12 - Karlštejn - Beroun-os.n.
- staničení
  - evidenční km 33,835
  - nové km -
  - přesné km 33,801.166
- koleje č. 1 a 2 jsou na propustku přímé
- převýšení  $p_1 = 0$  mm,  $p_2 = 0$  mm (v ose propustku)
- osová vzdálenost kolejí v ose propustku je 4401 mm
- nová niveleta TK :
  - kolej č. 1 - 220,795- tj. o 213 mm výše než stávající kolej č. 1
  - kolej č. 2 - 220,795 - tj. o 192 mm výše než stávající kolej č. 2
- posuny kolejí :
  - posun koleje č. 1 - kolej o 229 mm vpravo od stávající koleje č. 1
  - posun koleje č. 2 - kolej o 6 mm vlevo od stávající koleje č. 2
- kolej č. 1 stoupá 1,09 ‰, kolej č. 2 stoupá 1,09 ‰
- prostorové uspořádání na propustku vyhovuje ČSN 73 6201 :
  - VMP 3,0
  - částečně otevřené šterkové lože

Název akce	Optimalizace trati Karlštejn (mimo) - Beroun (mimo)	stránka	/	celkem
Vypracoval	Ing. Jakub Mattuš	5	/	67

- navrhovaná rychlost :
  - 100 km/hod - pro klasické soupravy
  - 130 km/hod - pro vozy s NT

**Podklady :**

- Vlastní prohlídka místa stavby a pořízení fotografické dokumentace.
- Archivní dokumentace.
- Geodetické zaměření.
- Návrh směrového vedení kolejí a návrh podélného profilu trati.
- Jednání o mostních objektech, které probíhaly na METROPROJEKTU - viz. I. Doklady.
- Projednávání mostních objektů s dotčenými správci (součástí souhrnné části projektu).
- **Projednání dokumentace s útvary SŽDC :**
- Mostní objekty byly projednávány na výrobních poradách, probíhajících za účasti útvarů SŽDC, konaných dne 16.12.2011 a 1.2.2012.

**Inženýrsko - geologické poměry a založení propustku :**

Pro ověření geologické stavby podloží nebyl pro tento objekt proveden žádný geologický průzkum.

Pro ověření tloušťky stávající opěry byl proveden jádrový vrt V1, pro ověření hloubky založení byl proveden jádrový vrt Š1 a pro ověření tloušťky klenby vrt K1.

Stavebnětechnický průzkum vypracovala firma GeoTec - GS, a.s. v roce 2004.

**C. ZÁKLADNÍ ÚDAJE O DOSAVADNÍM STAVU PROPUSTKU**

Stávající propustek je kolmý, dvoukolejný, o jednom otvoru a převádí vodu z levé strany trati na pravou. Nosnou konstrukci tvoří kamenné klenby, které jsou výškově odstupňovány. Opěry a křídla jsou kamenná založená na plošných základech. Stávající nosná konstrukce nebude vzhledem k jejímu tvaru využita.

Na základě toho se navrhuje komplexní přestavba objektu na nový ŽB rám s klenutou horní příčlím.

**Údaje o stávajícím propustku :**

Druh nosné konstrukce	:	kamenná klenba
Popis spodní stavby	:	kamenné opěry + kolmá kamenná křídla
Počet mostních otvorů	:	1

Název akce	Optimalizace trati Karlštejn (mimo) - Beroun (mimo)	stránka	/	celkem
Vypracoval	Ing. Jakub Matuš	6	/	67

Délka přemostění (mezi líci opěr)	:	1,900 m
Kolmá světlost otvoru	:	1,900 m
Rozpětí nosné konstrukce	:	2,400 m
Volná výška pod propustkem	:	1,519 m
Šířka propustku v ose propustku	:	13,934 m
Šikmost propustku	:	90°
Úhel kříž. s přemostřovanou překážkou	:	90°
Počet kolejí na propustku	:	2
Rok výstavby	:	1907
Rok poslední rekonstrukce	:	-
Dosavadní zatížitelnost propustku	:	s ohledem k výměně nosné konstrukce nebyla stávající zatížitelnost počítána
Hodnocení mostní revizní zprávou	:	2
Stávající železniční svršek	:	na propustku tvaru S49 - bezстыková kolej na betonových pražcích SB8, s podkladnicovým upevněním.

## **D. POPIS PROPUSTKU - NOVÝ STAV**

### ***Popis stavebních prací na propustku :***

Jedná se o přestavbu stávajícího propustku. Stavba bude probíhat po polovinách. V rámci SO žel. svršku a spodku se provede snesení stávajícího železničního svršku v rozsahu ZKPP. Provedou se terénní a výkopové práce. Stávající propustek bude ubourán v nutném rozsahu. Poté se na místě stávajícího propustku vybuduje nový rámový propustek.

V rámci SO žel. svršku a spodku se provede ZKPP a obnoví se původní železniční svršek. Následně se technologií bez snášení kolejového roštu provede nový žel svršek a spodek.

### ***Údaje o novém propustku :***

Zatížitelnost propustku	:	traťový úsek je řazen do 1. třídy podle Kategorie železničních tratí z hlediska mostů dle ČSN EN 1991-2. Model zatížení bude uvažován LM71 s národním klasifikačním součinitelem zatížení $\alpha=1,21$ , doplněný modelem zatížení SW/2. Tabulka zatížitelnosti viz. odst. K - Statické posouzení
Volná šířka na propustku vyhovuje	:	VMP 3,0
VJP (vzdál. jednostranné překážky)	:	vlevo VMP 3,0 + rezerva 125 mm vpravo VMP 3,0 + rezerva 125 mm
Nutná VJP	:	vlevo 3000 + rezerva 125 = 3125 mm vpravo 3000 + rezerva 125 = 3125 mm

Název akce	Optimalizace tratí Karlštejn (mimo) - Beroun (mimo)	stránka	/	celkem
Vypracoval	Ing. Jakub Mattuš	7	/	67

Vzdálenost zábradlí od osy koleje	:	v ose propustku 3135 mm vlevo a 3135 mm vpravo
Druh nosné konstrukce	:	ŽB rám
Rozpětí nosné konstrukce	:	2,300 m
Stavební výška propustku	:	v koleji č.1 1,415 m; v koleji č.2 1,415 m
Nutná tloušťka kolejového lože trati	:	510mm + 40mm pro převýšení 0 mm je dodržena
Nutná šířka kolejového lože	:	vlevo 2200 mm+60 mm je dodržena vpravo 2200 mm+60 mm je dodržena
Popis spodní stavby	:	ŽB základová deska (součást ŽB rámu)
Počet mostních otvorů	:	1
Délka přemostění (mezi líci opěr)	:	1,950 m
Kolmá světlost otvoru	:	1,950 m
Volná výška pod propustkem	:	2,440 m
Volná šířka v ose propustku	:	10,671 m
Šířka propustku v ose propustku	:	11,200 m
Šikmost propustku	:	90°
Úhel křížení s přemostěvanou přek.	:	90°
Počet kolejí na propustku	:	2
Navrhovaný železniční svršek	:	na objektu tvaru 60E2, bezстыková kolej na betonových pražcích, s pružným bezpodkladnicovým upevněním.

#### **a) Nosná konstrukce**

Nosná konstrukce je navržena jako uzavřená monolitická železobetonová rámová konstrukce o vnitřních světlostech rozměrech 1950x3000 mm a jednotné tloušťce obou stěn 350 mm, tloušťce dna 350 mm a proměnné tloušťce stropu 300-450 mm. Na propustku jsou římsy se zábradlím.

Konstrukce je navržena z betonu pevnostní třídy C 30/37-XC3, max. průsak 35 mm, která bude vyztužena betonářskou ocelí B500B.

S ohledem na celkovou délku konstrukce propustku nebude prováděna žádná dilatační spára. Spára mezi jednotlivými etapami výstavby bude řešena jako pracovní. Na konstrukci bude izolace o celkové tloušťce 60 mm.

#### **b) Spodní stavba**

Spodní stavbu tvoří základová deska železobetonového rámu, která je schopna přenést veškerá vyvolaná zatížení, zajišťuje zároveň rozepření svislých stěn a tím zabezpečuje celkovou stabilitu nosné konstrukce. Konstrukce je navržena z betonu pevnostní třídy C30/37-XF3 max. průsak 35 mm, která bude vyztužena betonářskou ocelí B500B. Na rám navazují rovnoběžná a šikmá křídla.

Z hlediska namáhání základové půdy je užití plošného základu velmi výhodné, neboť jej lze použít i pro horší zeminové prostředí a lehce vyrovnává lokální odchylky ve

Název akce	Optimalizace trati Karlštejn (mimo) - Beroun (mimo)	stránka	/	celkem
Vypracoval	Ing. Jakub Mattuš	8	/	67

smykových parametrech zeminy v základové spáře. Na základové spáře je vrstva podkladního betonu vyztužená KARI sítí.

Vana rámu bude izolována z vrchu i zespodu.

<b>BETON - INŽENÝRSKÉ OBJEKTY</b>		
<b>MIMO DOSAH VOZOVEK A PĚŠÍCH KOMUNIKACÍ SE ZIMNÍ ÚDRŽBOU</b>		
Konstrukce, konstrukční části staveb	Min. třída betonu	Stupeň vlivu prostředí
Podkladní beton, vyplnění klínů pod drenáží	C12/15	XA1
Spodní deska, stěny, křídla	C30/37	XF3
Mostovka ochráněná izolací	C30/37	XC3
Římsy	C30/37	XF3+XC4
Tvrdá ochrana izolace	C25/30	XF1+XC2
Beton odláždění	C25/30	XC2+XF1

### ***c) Izolace propustku - proti stékající vodě a zemní vlhkosti s tvrdou ochranou***

*Vodorovné izolace proti stékající vodě a zemní vlhkosti:*

Odvodnění propustku je primárně zajištěno podélným střešovitým sklonem povrchu nosné konstrukce ve spádu 1,6 %. Srážková voda je odváděna za ruby opěr do příčného drenážního systému a jím do stran propustku. Izolace nosné konstrukce, ve smyslu normy TNŽ 73 6280, je předpokládána z penetračně adhezního nátěru + izolačního systému proti stékající vodě a zemní vlhkosti (o max. tloušťce 10 mm) plnoplošně natavovaného na podklad + tvrdá ochrana - geotextilie s plošnou hmotností 300 g/m<sup>2</sup>, separační fólie PE 0,4 mm a beton (C25/30 - XC2, XF1) s výztužnou vložkou KARI síť 4/4, 100/100 mm o tl. 50 mm. Celková tloušťka izolace je 60 mm.

*Svislé izolace proti stékající vodě a zemní vlhkosti:*

Svislá izolace ve smyslu normy TNŽ 73 6280, je předpokládána z penetračně adhezního nátěru + izolačního systému proti stékající vodě a zemní vlhkosti (o max. tloušťce 10 mm) plnoplošně natavovaného na podklad + měkká ochrana - netkaná textilie s výztužnou mřížkou o hmotnosti dle SVI. Z vnitřní strany opěr a na šířku 0,9 m vnitřní strany křídel, kde se předpokládá větší náchylnost na poškození (v místě provádění kamenné rovnaniny), bude netkaná textilie s výztužnou mřížkou nahrazena extrudovaným polystyrenem tl. 50 mm s netkanou textílií 500 g/m<sup>2</sup>, volně ukládaným po vrstvách při pokládání drenáží a vytváření rovnanin a zásypů. Spáry mezi deskami polystyrenu je nutno zajistit tak, aby nedošlo k poškození vodotěsné vrstvy, např. přelepením páskou.

Název akce	Optimalizace trati Karlštejn (mimo) - Beroun (mimo)	stránka	/	celkem
Vypracoval	Ing. Jakub Mattuš	9	/	67

Vnitřní plochy rámu a ochrana ostatních betonových konstrukcí se předpokládá z 1x asfaltového penetračního nátěru + 2x asfaltového nátěru SA12.

#### **d) Ochrana proti bludným proudům**

Ochrana proti bludným proudům bude provedena v souladu s SŽDC SR 5/7 (S) a TP 124.

V řešeném úseku stavby byl proveden korozní průzkum. Ten stanovil pro mostní objekty agresivitu prostředí na stupeň IV. - velmi vysoká. Vzhledem k elektrifikaci tratě a koroznímu průzkumu, je navržen stupeň opatření 4. podle předpisu SŽDC SR 5/7 (S), který spočívá mimo jiné ve vodivém propojení výztuže a jejím propojení s měřicími body.

#### **e) Protikorozní ochrana**

Respektování závazného předpis SŽDC S 5/4 Protikorozní ochrana ocelových konstrukcí. Základní požadavek na prostředí je C5-I (zinkování ponorem, ŽSP+ONS02) a životnost velmi vysoká. Protikorozní ochrana ocelových konstrukcí se bude sestávat z otryskání křemičitým pískem, metalizace slitinou zinku a hliníku a aplikace vícevrstvého epoxypolyuretanového nátěrového systému v provedení dle SŽDC S 5/4. Konkrétní nátěrový systém musí disponovat osvědčením SŽDC. Krycí vrstva nátěru bude provedena v modrém odstínu s obsahem železité slídy (**DB 502** dle vzorkovnice Deutsche Bahn).

#### **f) Odvodnění propustku**

Rubová drenáž bude provedena jednostranným vyspádováním drenážních trubek (poloděrovaných) HDPE  $\phi 150$  mm z levé strany trati na pravou, do boku propustku na odláždění terénu u křídel. Poslední jeden metr na obou stranách bude tvořen troubou HDPE bez perforace. Drenáže budou uloženy do betonového lože. Pod drenážní trubky bude zatažena svislá izolace rámu. Izolace bude provedena na celou délku betonového lože. Trubka vyčnívá 150 mm před obetonování v dláždění. Voda je svedena po dláždění za křídly, k patě svahu. Vyšší konec (vlevo trati) drenáže bude zavíčkován.

#### **g) Zábradlí**

Je klasického provedení se sloupky a vodorovnou výplní z ocelových úhelníků. Zábradlí bude kotveno na desky pomocí chemických kotev. Patní plech bude podlitý polymermaltou. Zábradlí bude opatřeno ochranným nátěrovým systémem.

#### **h) Terénní úpravy**

Terénní úpravy spočívají zejména v provedení svahů napojených na nové těleso trati a svahy přeložky komunikace dle projektu. Provedení povrchu polní cesty před, za a pod propustkem bude součástí přeložky polní cesty a ta je součástí samostatného SO. Odvodnění polní cesty včetně příkopů bude součástí její přeložky.

Odláždění svahů u šikmých křídel a prostoru na výtoku i výtoku bude provedeno dle projektové dokumentace. Dlažba bude z lomového kamene do betonového lože a na výtoku zakončena betonovým prahem a za zádlážbou bude proveden štěrkový zához.

Název akce	Optimalizace trati Karlštejn (mimo) - Beroun (mimo)	stránka	/	celkem
Vypracoval	Ing. Jakub Mattuš	10	/	67

**e) Inženýrské sítě**

**Stávající sítě:** Dle dostupných podkladů nejsou v blízkosti propustku žádné inženýrské sítě.

**Nové sítě:** Na levé i pravé straně tělesa nad propustkem je možné umístit TK žlaby. Skutečný počet TK žlabů bude v dalším stupni odpovídat skutečným požadavkům profesí. TK žlaby nejsou součástí tohoto objektu. Rozsah nových sítí vč. přeložek, je znázorněn v situaci.

**j) Přejedání tělesa železničního spodku**

Přejedání tělesa železničního spodku na mostní objekty bude s uvažováním přílohy č. 24 k SŽDC S 4. Na tomto objektu bude přejedání provedeno zesílenou konstrukcí pražcového podloží. ZKPP je součástí SO železničního spodku.

Pro zásypy bude použito materiálu v poměru 50% dovezené štěrkodrtě a 50% vytěženého materiálu (bude provedena probírka celého výkopového materiálu). Probraný materiál však musí být vhodný pro zásypy. Zbývající materiál po probírce bude odvezen na skládku.

**k) Železniční svršek**

Železniční svršek je v celém úseku stavby navrhován ve tvaru 60E2, bezстыková kolej na betonových pražcích, s pružným bezpodkladnicovým upevněním a řeší jej samostatné stavební objekty. Na celém propustku je dodržena min. tloušťka kolejového lože 510 + 40 mm (pro převýšení 96 mm), volný prostor pro čističku od os kolejí vlevo i vpravo 2200 mm + 60 mm.

**l) Další vybavení**

Letopočet výstavby bude vyznačen osazením negativu letopočtu do bednění pravé i levé římsy. Výška číslic 200 mm.

**E. NORMY, PŘEDPISY A ODCHYLKY****Předpisy a normy SŽDC a ČD:**

TKP Technické kvalitativní podmínky staveb státních drah, 3. aktualizované vydání, 2000, v platném znění

Směrnice generálního ředitele SŽDC s. o. č. 11/2006, Dokumentace pro přípravu staveb na železničních tratích celostátních a regionálních

Směrnice generálního ředitele SŽDC s. o. č. 16/2005, Hlavní zásady modernizace a optimalizace vybrané železniční sítě České republiky

SŽDC směrnice č. 30 Zásady rekonstrukce celostátních drah České republiky nezařazených do evropského železničního systému

Metodický pokyn pro určování zatížitelnosti železničních mostních objektů, 09.2015

MVL 511 Nosné konstrukce žel. mostů se zabetonovanými ocelovými nosníky

MVL 649 Železobetonové propustky

Název akce	Optimalizace tratí Karlštejn (mimo) - Beroun (mimo)	stránka	/	celkem
Vypracoval	Ing. Jakub Mattuš	11	/	67

SŽDC SR 5/7 (S)	Ochrana žel. mostních objektů proti účinkům bludných proudů
SŽDC S 5/4	Protikorozi ochrana ocelových konstrukcí
TNŽ 73 6280	Navrhování a provádění vodotěsných izolací žel. mostních objektů (2000)
SŽDC S 3	Železniční svršek
SŽDC S 3/2	Bezстыková kolej, 2008
SŽDC S 4	Železniční spodek
SŽDC S 5	Správa mostních objektů, 2012
SŽDC MVL 102	Přechod mezi nosnými konstrukcemi. Přechod mezi nosnou konstrukcí a opěrou. Přechod mezi spodní stavbou a zemním tělesem, 1996,

**Evropské návrhové (Eurocode):**

ČSN EN 13 670	: Provádění betonových konstrukcí
ČSN EN 1990 Eurokód	: Zásady navrhování konstrukcí
ČSN EN 1991 Eurokód 1:	Zatížení konstrukcí
ČSN EN 1992 Eurokód 2:	Navrhování betonových konstrukcí
ČSN EN 1993 Eurokód 3:	Navrhování ocelových konstrukcí
ČSN EN 1994 Eurokód 4:	Navrhování spřažených ocelobetonových konstrukcí
ČSN EN 1996 Eurokód 6:	Navrhování zděných konstrukcí
ČSN EN 1997 Eurokód 7:	Navrhování geotechnických konstrukcí
ČSN EN 206	: Beton - Specifikace, vlastnosti, výroba a shoda

**Normy ostatní:**

ČSN 73 6201	Projektování mostních objektů (10/2008)
ČSN EN 50122-1 ed.2	Drážní zařízení - Pevná trakční zařízení - Elektrická bezpečnost, uzemňování a zpětný obvod - Část 1: Ochranná opatření proti úrazu elektrickým proudem
ČSN 73 0037	Zemní tlak na stavební konstrukce (1990)
ČSN ISO 9690	Klasifikace podmínek agresivního prostředí působícího na beton a železobetonové konstrukce
TP 124 PK	Ochrana objektu proti účinkům bludných proudů
TP ČBS 03	Pohledový beton, Česká betonářská společnost ČSSI, 2009

Odchyłky oproti předpisům a normám: Nejsou

**F. HLAVNÍ SOUVISEJÍCÍ OBJEKTY**

SO 12-33-01	Karlštejn-Beroun - železniční spodek
SO 12-33-02	Karlštejn-Beroun - železniční svršek
SO 12-35-01	Karlštejn-Beroun - trakční vedení
SO 12-41-01	Karlštejn-Beroun - ukolejnění OK

Název akce	Optimalizace trati Karlštejn (mimo) - Beroun (mimo)	stránka	/	celkem
Vypracoval	Ing. Jakub Mattuš	12	/	67



## **G. ZPŮSOB PROVÁDĚNÍ A STAVEBNÍ POSTUPY**

Před začátkem stavby se vybudují přístupové cesty (součástí tohoto SO) a staveništní plochy. Zajistí se zaměření, přeložení a případná ochrana veškerých stávajících inženýrských sítí.

Přestavba propustku se provede po polovinách, při výluce vždy v jedné koleji. Výluka se předpokládá pro práce na objektu dva měsíce v každé koleji.

Provede se zajištění pojížděné koleje pomocí záporového pažení. V rámci SO železničního spodku a svršku bude snesen stávající kolejový rošt a šterkové lože za opěrami. Dále bude snesena stávající konstrukce ve vyloučené koleji. Provedou se bourací a výkopové práce v rozsahu potřeb přestavby propustku. Budou ubourány části stávajících opěr na požadovanou úroveň. Provede se nová nosná konstrukce se všemi náležitostmi. Po dokončení stavebních prací na budované polovině propustku a úpravách přechodových klínů, se provede železniční svršek a spodek (součástí samostatného objektu). Převeze se provoz na druhou kolej. Tento postup se bude opakovat pro fázi, kdy bude vyloučena druhá kolej.

Po dokončení obou etap se provedou dokončovací a nutné terénní úpravy.

V technologické dokumentaci je nutno respektovat závazný předpis SŽDC S 5/4 Protikorozní ochrana ocelových konstrukcí a předpis TNŽ 73 6280 Navrhování a provádění vodotěsných izolací železničních mostních objektů.

## **H. POŽADAVKY NA DOPLNĚNÍ PRŮZKUMŮ A PODKLADŮ**

V rámci dalšího stupně projektové dokumentace je nutno provést jeden geologický vrt délky 6 m od terénu. Poloha by měla být situována poblíž výtoku z objektu.

Název akce	Optimalizace trati Karlštejn (mimo) - Beroun (mimo)	stránka	/	celkem
Vypracoval	Ing. Jakub Matuší	13	/	67

## **I. DOKLADY O PROJEDNÁNÍ**

### **Z Á P I S**

z jednání, konaného dne **16.12.2011** v sídle METROPROJEKTU Praha a.s. na I.P.Pavlova 2/1786, Praha 2,

ve věci staveb **„Optimalizace trati Černošice (včetně) - Beroun (mimo)“**

**- úsek Karlštejn - Beroun**

**„Optimalizace trati Beroun (včetně) - Králův Dvůr“**

**SO 13-38-11 (pův. SO 12-38-10) Propustek v km 33,835**

Koncepce rekonstrukce objektu s nasazením ŽB izolované vany byla změněna na přestavbu na nový monolitický rám s klenutou horní příčlíví. Pokud to bude tvarově a polohově vycházet, budou preferována kolmá křídla s odlážděním svahů.

*Zapsal: Ing. Řeřucha M. (METROPROJEKT Praha a.s.)*

### **Z Á P I S**

z jednání, konaného dne **1.2.2012** v sídle METROPROJEKTU Praha a.s. na I.P.Pavlova 2/1786, Praha 2,

ve věci staveb **„Optimalizace trati Černošice (včetně) - Beroun (mimo)“**

**- úsek Karlštejn - Beroun**

**„Optimalizace trati Beroun (včetně) - Králův Dvůr“**

**SO 13-38-11 (pův. SO 12-38-10) Propustek v km 33,835**

Navržené řešení (nový monolitický žb. rám s klenutou horní příčlíví) bylo projednáno a odsouhlaseno. Stávající kamenný propustek bude ubourán v nezbytně nutném rozsahu a nahrazen novým, železobetonovým rámovým propustkem o světlosti 1,95 m. Na kolmá křídla navazuje odláždění svahů.

*Zapsal: Ing. Řeřucha M. (METROPROJEKT Praha a.s.)*

Název akce	Optimalizace trati Karlštejn (mimo) - Beroun (mimo)	stránka	/	celkem
Vypracoval	Ing. Jakub Matuší	14	/	67

**J. GEOLOGICKÝ PRŮZKUM****Geotec GS®**OPTIMALIZACE TRATI  
ŘEVNICE - BEROUN**C.19****PROPUSTEK V KM 33,835**

STAVEBNĚTECHNICKÝ PRŮZKUM

Zakázka 2003 - 065  
Praha, březen 2004

Název akce	Optimalizace trati Karlštejn (mimo) - Beroun (mimo)	stránka	/	celkem
Vypracoval	Ing. Jakub Matuší	15	/	67



Objednatel : SUDOP BRNO, spol. s.r.o.  
Kounicova 26, 611 36 Brno  
Zhotovitel : GeoTec - GS, a.s.  
Chmelová 2920 / 6, 106 00 Praha 10  
Název zakázky zhotovitele : Řevnice - Beroun, průzkum  
Zakázkové číslo zhotovitele : 2003 - 065

## OBSAH :

**Stavebnětechnický pasport propustku v km 33,835**

## Přílohy :

Situace objektu, měřítko 1 : 1000  
Schéma umístění vrtů do konstrukce  
Dokumentace vrtů do konstrukce  
Výsledky laboratorních zkoušek

Praha, březen 2004

Zpracovali : Ing. Jan Hrabánek

Ing. Antonín Kropáček  
odpovědný řešitel úkolu

Za věcnou správnost : Ing. Jiří Libus  
ředitel společnosti

Název akce	Optimalizace trati Karlštejn (mimo) - Beroun (mimo)	stránka	/	celkem
Vypracoval	Ing. Jakub Matuš	16	/	67

**GeoTec GS<sup>®</sup>**

GeoTec-GS, a.s., Chmelová 2920/6, 106 00 Praha 10

**Propustek  
v km 33,835****PŘÍLOHOVÁ ČÁST**

Situace objektu, měřítko 1 : 1000  
Schéma umístění vrtů do konstrukce  
Dokumentace vrtů do konstrukce  
Výsledky laboratorních zkoušek

Název zakázky :	Řevnice - Beroun, průzkum		
Číslo zakázky :	2003 - 065	Objednatel :	SUDOP BRNO, spol. s.r.o.
Datum :	03 / 2004	Zpracoval :	Ing. Jan Hrabánek
Počet stran :	6	Schválil :	Ing. Jiří Libus

Název akce	Optimalizace trati Karlštejn (mimo) - Beroun (mimo)	stránka	/	celkem
Vypracoval	Ing. Jakub Mattuš	17	/	67

Řevnice - Beroun, průzkum

2003 - 065

**Stavebnětechnický pasport :  
PROPUSTEK V KM 33,835**

**1. ZÁKLADNÍ ÚDAJE**

<u>Základní údaje o objektu :</u>	propustek, jednopólový, klenbový, kamenný
<u>Cíl průzkumu :</u>	ověření hloubky založení a tloušťky berounské opěry, mocnosti klenby, ověření kvality zdiva - pevnosti a mezerovitosti

**2. ROZSAH PRŮZKUMNÝCH PRACÍ**

<u>Průzkumné sondy :</u>	
Jádrové DIA vrty :	V1 - délka vrtu 2,20 m Š1 - délka vrtu 3,50 m K1 - délka vrtu 1,00 m
<u>Odběry vzorků :</u>	zdivo : Š1 - 0,00 - 0,60 m
<u>Laboratorní zkoušky :</u>	1 x pevnost v prostém tlaku
<u>Vodní tlakové zkoušky :</u>	V1 - v intervalu 0,20 - 0,80 m

**3. STAVEBNĚTECHNICKÝ PRŮZKUM**

Část konstrukce	berounská opěra pod kolejí č. 2	klenba
Materiál	kamenné zdivo	kamenné zdivo
Hloubka založení [m]	2,10 / 4,80 *)	-
Tloušťka [m]	1,35	0,75
Specifická vodní ztráta $q [l.s^{-1}.m^{-1}.MPa^{-1}]$	72,2	-
Mezerovitost [%] (ON 73 7508)	přes 10	-
Výpočtová pevnost $R_{dt} [MPa]$ (ČSN 73 2310)	0,9	-

\*) hloubka od ústí vrtu / hloubka pod vrcholem klenby

Název akce	Optimalizace trati Karlštejn (mimo) - Beroun (mimo)	stránka	/	celkem
Vypracoval	Ing. Jakub Mattuš	18	/	67

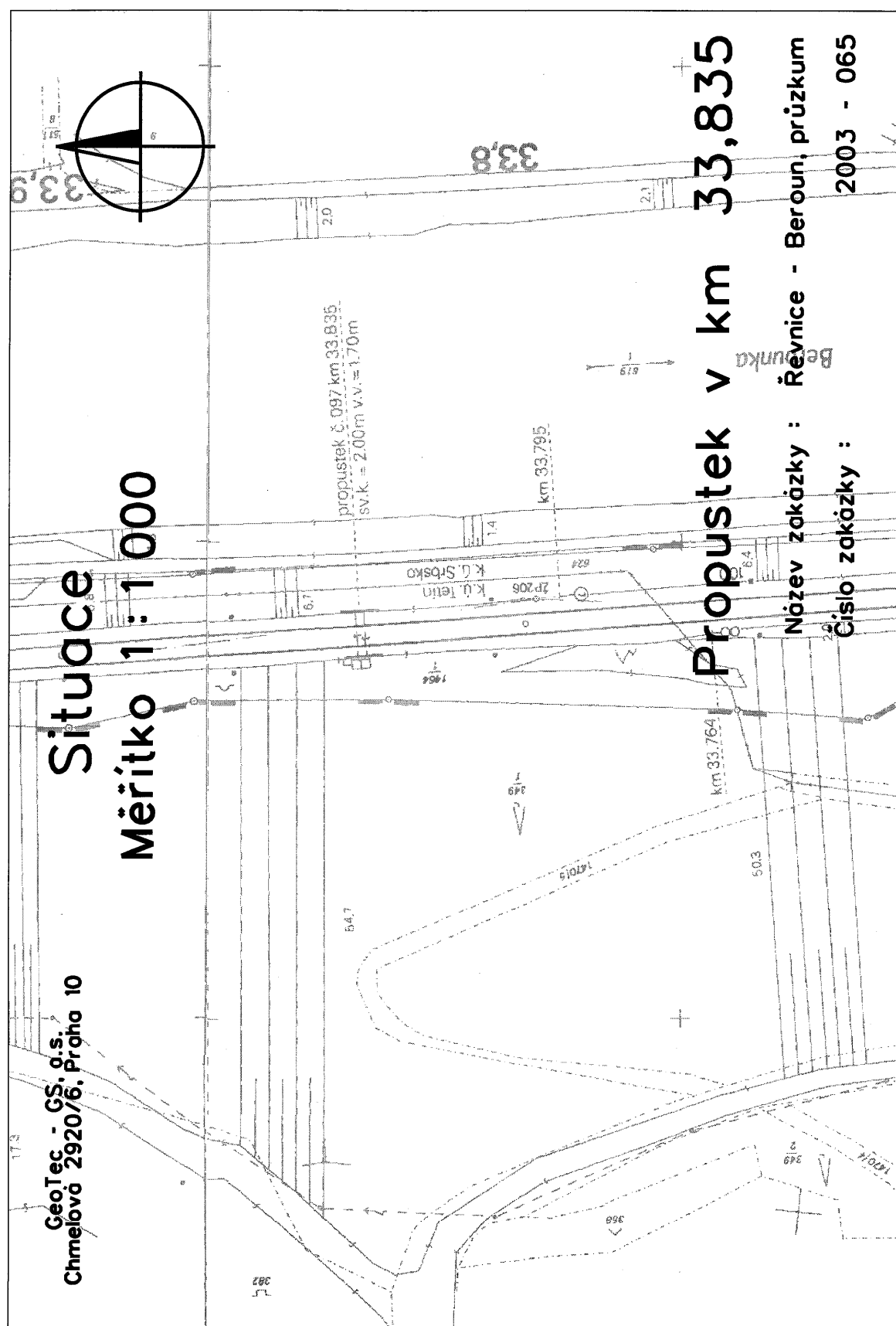
Řevnice - Beroun, průzkum

2003 - 065

**4. TECHNICKÁ ZJIŠTĚNÍ**

- objekt se skládá ze tří odstupňovaných částí, spodní stavba je z kamenného zdiva z lomového kamene, klenba je z kamenného zdiva řádkového hrubého
- hloubka založení berounské opěry je 4,80 m od vrcholu klenby, v základové spáře byl zastižen vápenec, zdravý, pevný - skalní podloží
- tloušťka opěry v místě vrtu 1,15 m; za opěrou byl zastižen kamenný zásyp a materiál násypu - štěrk hlinitý
- tloušťka klenby v pravé části je 0,75 m; nad klenbou byl zastižen štěrk s příměsí jemnozrnné zeminy, izolace nebyla ověřena
- pevnost zdiva byla stanovena u berounské opěry na 0,90 MPa;
- mezerovitost zdiva berounské opěry přesahuje 10%, zdivo klasifikujeme jako hrubě pórovité

Název akce	Optimalizace trati Karlštejn (mimo) - Beroun (mimo)	stránka	/	celkem
Vypracoval	Ing. Jakub Mattuš	19	/	67



Název akce	Optimalizace trati Karlštejn (mimo) - Beroun (mimo)	stránka	/	celkem
Vypracoval	Ing. Jakub Matuš	20	/	67



# SCHÉMA UMÍSTĚNÍ VRTŮ DO KONSTRUKCE

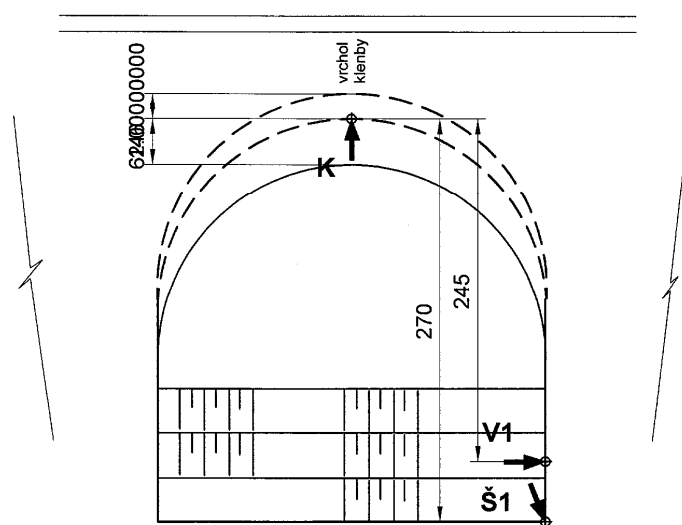
## Propustek v km 33,835

směr Praha

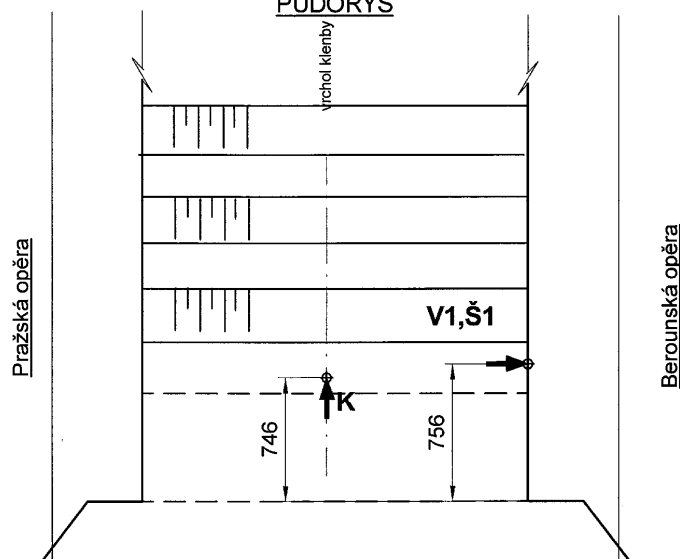


POHLED

směr Beroun



PŮDORYS



Pozn.: uvedené rozměry jsou v centimetrech

Název zakázky:

Číslo zakázky:

Řevnice - Beroun, průzkum

2003 - 065

GeoTec - GS, a.s.

Název akce	Optimalizace trati Karlštejn (mimo) - Beroun (mimo)	stránka	/	celkem
Vypracoval	Ing. Jakub Matuší	21	/	67

<b>Propustek v km :</b>	<b>33,835</b>	<b>Sonda :</b>	<b>V1</b>
Lokalizace vrtu :	opěra Beroun	Hloubeno dne :	3.11.2003
Výška ústí vrtu :	2,45 m pod vrcholem klenby střední části	Souprava :	Cedima
Úklon od svislé :	90 °	Dokumentoval :	Hrabánek
Hloubka [m] ve směru vrtu			
od	do		
0,00	- 1,35	<b>Zdivo kamenné</b> - z lomového kamene pojené maltou vápenocementovou <u>Kamenivo</u> - vápenec, navětralý, šedý, uloženy kusy jader velikosti 5 - 18 cm <u>Pojivo</u> - malta vápenocementová, pevná, zdravá, středně pórovitá, tvoří vrtné jádro.	
1,35	- 1,90	<b>Kamenný zásyp</b> - kameny vápenců velikosti 5 - 10 cm.	
1,90	- <u>2,20</u>	<b>Štěrka hlinitá</b> - středně uhlý, úlomky vápenců velikosti 1 - 4 cm, obsahu cca 30 - 40 %, výplň hlína písčitá.	
Odebrané vzorky :	---		
Vodní tlaková zkouška :	v intervalu 0,2 - 0,8 m		
Poznámka :	---		

<b>Propustek v km :</b>	<b>33,835</b>	<b>Sonda :</b>	<b>Š1</b>
Lokalizace vrtu :	opěra Beroun	Hloubeno dne :	3.11.2003
Výška ústí vrtu :	2,70 m pod vrcholem klenby střední části	Souprava :	Cedima
Úklon vrtu od svislé :	18°	Dokumentoval :	Hrabánek
Hloubka [m] ve směru vrtu			
od	do		
0,00	- 2,20	<b>Zdivo kamenné</b> - z lomového kamene pojené maltou vápenocementovou <u>Kamenivo</u> - vápenec, navětralý, šedý, uloženy kusy jader velikosti 5 - 20 cm <u>Pojivo</u> - malta vápenocementová, porušená, pevná, pórovitá, převážně tvoří vrtné jádro.	
2,20	- 3,50	<b>Vápenec</b> - zdravý, pevný, světle šedý, na puklinách limonitizovaný - skalní podloží	
Odebrané vzorky :	J - 0,00 - 0,60		
Vodní tlaková zkouška :	---		
Poznámka :			



Propustek v km : 33,835

Sonda : K1

Lokalizace vrtu : klenba střední části

Hloubeno dne : 3.11.2003

Výška ústí vrtu : ve vrcholu klenby

Souprava : Cedima

Odklon od přímé : 0°

Dokumentoval : Hrabánek

Hloubka [m]

ve směru vrtu

od do

0,00 - 0,75

**Zdivo kamenné** - řádkové hrubé na maltu vápenocementovouKamenivo - vápenec, navětralý, šedý, uloženy kusy jader velikosti 5 - 18 cmPojivo - malta vápenocementová, mírně porušená, jemně pórovitá, tvoří vrtné jádro

0,75 - 1,00

**Štěrk s příměsí jemnozrnné zeminy** - úlomky a kameny vápenců velikosti 2 - 8 cm, obsahu cca 50 %, výplň písek s příměsí jemnozrnné zeminy

Odebrané vzorky : ---

Vodní tlaková zkouška : ---

Poznámka :

Název akce	Optimalizace trati Karlštejn (mimo) - Beroun (mimo)	stránka	/	celkem
Vypracoval	Ing. Jakub Matuší	23	/	67

**GEMATEST spol. s r.o. Laboratoř geomechaniky Praha**

Vyšehradská 47, 120 00 Praha 2, tel/fax: +420 224920612, 224919805, mobil: 602322813, geotechnika@gematest.cz, www.gematest.cz

**ZPRÁVA O LABORATORNÍCH ZKOUŠKÁCH**číslo zprávy: **416**Celkový počet listů: **2**List číslo: **1/2**

Název zakázky **ŘEVNICE-BEROUN, PRŮZKUM**  
Objekt **PROPUSTEK V KM 33,835**  
Název a adresa zadavatele **GEOTEC-GS, A.S. CHMELOVÁ 2920/6, 106 00 PRAHA 10**  
Číslo zakázky zadavatele **2003-065**  
Laboratorní čísla vzorků **3292**  
Odběr vzorků in situ *zadavatel*  
Datum odběru vzorků in situ  
Datum dodání do laboratoře **11.11.2003**

Název použitého zkušební postupu  
Laboratorní stanovení vlhkosti zemin

Zkušební metody přírodního kamene-Stanovení pevnosti v tlaku  
Základová půda pod plošnými základy  
Pojmenování a popis hornin v inženýrské geologii  
Malé vodní nádrže  
Klasifikace zemin pro dopravní stavby  
Metodiky laboratorních zkoušek v mechanice zemin a hornin,  
ČGÚ, 1987.

ČSN 72 1012

ČSN EN 1926, 72 1142

ČSN 73 1001

ČSN 72 1001

ČSN 75 2410

ČSN 72 1002

Zkoušky označené akreditační značkou byly prováděny v rozsahu akreditace, udělené zkušební laboratoři GEMATEST s.r.o. Laboratoř geomechaniky Praha Českým institutem pro akreditaci pod číslem 1291.

Zprávu o zkoušce vystavil:

Datum vystavení: 18.11. 2003

Mgr.P.Urban – zást.vedoucí laboratoře

**GEMATEST s.r.o.**  
Laboratoř geomechaniky  
Vyšehradská 47, Praha 2  
tel./fax: 224 920 612

Název akce	Optimalizace trati Karlštejn (mimo) - Beroun (mimo)	stránka	/	celkem
Vypracoval	Ing. Jakub Mattuš	24	/	67



GEMATEST spol. s r.o. Laboratoř geomechaniky Praha  
 Vyšehradská 47, 120 00 Praha 2, tel/fax: +420 224920612, 224919805, mobil: 602322813, geotechnika@gematest.cz, www.gematest.cz

MECHANIKA ZEMIN

18/11/2003

## VÝSLEDKY LABORATORNÍCH ZKOUŠEK HORNIN

NÁZEV ÚKOLU : **PROPUSTEK V KM 33,835**  
 ČÍSLO ÚKOLU : **2003-065**

SONDA	Š 1			
HLOUBKA [m]	0,0 - 0,6			
LAB. Č.	3292			
DRUH VZORKU	SKALNÍ HOR.			
VLHKOST [%]	0,3			
KLASIFIKACE ČSN 72 1002 *	NELZE			
KLASIFIKACE ČSN 73 1001	R2			
KLASIFIKACE ČSN 72 1001	R2			
KLASIFIKACE ČSN 75 2410	R2			
KONZISTENCE VYPOČTENÁ				
INDEX KONZISTENCE	NELZE			
INDEX KOLOIDNÍ AKTIVITY	NELZE			
PR. PEV. V JEDNOSOSEM TLAKU [MPa]	72,4			

(\*) PODROBNĚJŠÍ ÚDAJE VIZ PROTOKOL O ZKOUŠCE  
 (+) KONZISTENCE SE TÝKÁ VÝPLNĚ

### Pevnost hornin v jednoosém tlaku (jádro)

NÁZEV ÚKOLU : **PROPUSTEK V KM 33,835**  
 ČÍSLO ÚKOLU : **2003-065**

VZOREK	SONDA	HLOUBKY	Rozměry	Def.	Objemová hmotnost	Pór.	Sat.	Pev- nost	Sí- la	ŠP
		[m]	[cm]	[%]	vlhká suchá [kg/m <sup>3</sup> ]	[%]	[%]	[MPa]		
3292	Š 1	0,0 - 0,6	p1	6,12x6,15	1,51	2753		89,8	⊥	1
			p2	6,12x6,13	1,31	2742		59,5	⊥	1
			p3	6,2x6,21	1,72	2656		78,5	⊥	1
			p4	6,16x6,19	1,55	2710		61,8	⊥	1
			Ø			2715		72,4		

## **K. STATICKÉ POSOUZENÍ**

### TECHNICKÁ ZPRÁVA STATICKÁ pro statický výpočet

#### **SO 13-38-11 Most v ev. km 33,835**

#### **Základní údaje**

- nosná konstrukce – železobetonový rám uzavřený (železobetonová klenba)
- železniční propustek, který převádí vodu z levé strany trati na pravou

#### **Technický popis konstrukcí**

Nosná konstrukce mostního objektu (propustku) je staticky navržena jako rám na rozpětí 2,30m.

Zatížení mostního objektu bylo stanoveno dle ČSN EN 1991-2 a ČSN EN 1991-1 – pro model zatížení LM71 s klasifikačním součinitelem  $\alpha = 1,21$ .

Konstrukce je navržena z betonu pevnostní třídy C 30/37, který bude vyztužen betonářskou výztuží třídy B500B.

Přesná zatížitelnost mostu může být stanovena až v projektovém stupni dokumentace, kde jsou zpracovávány podrobné armovací a prováděcí výkresy.

#### **Výpočetní pomůcky**

Název	Verze
SCIA Engineer Základní modelář prutů [ESA.01] Rovinné plošné prvky [ESA.02] Nástroje produktivity [ESA.06] Lineární statika 2D [ESAS.00] Lineární statika 3D [ESAS.01] Vlastní kmitání pruty [ESAS.21] Vlastní kmitání plochy [ESAS.22]	17.01
FIN EC 2017 Beton	2017.2
Microsoft Office Excel Word	2013
AutoCAD	2017 7.9.1020

**Podklady a normy**

Označení	Název	Datum vydání / datum vydání revize
ČSN EN 1990	Eurokód: Zásady navrhování konstrukcí	ed. 2 [5.2015]
ČSN EN 1991-1-1	Eurokód 1: Zatížení konstrukcí - Část 1-1: Obecná zatížení - Objemové tíhy, vlastní tíha a užitná zatížení pozemních staveb	[3.2004] Oprava : Opr.1 [2.2010] Změna : Z1 [2.2010] Změna : Z2 [3.2010]
ČSN EN 1991-1-4	Eurokód 1: Zatížení konstrukcí - Část 1-4: Obecná zatížení - Zatížení větrem	ed. 2 [4.2013]
ČSN EN 1991-1-5	Eurokód 1: Zatížení konstrukcí - Část 1-5: Obecná zatížení - Zatížení teplotou	[5.2005] Oprava : Opr.1 [2.2010] Oprava : Opr.2 [6.2011] Změna : Z1 [2.2010] Změna : Z2 [3.2010]
ČSN EN 1991-2	Eurokód 1 Zatížení konstrukcí - Část 2: Zatížení mostů dopravou	ed. 2 [11.2015]
ČSN EN 206 + A1	Beton - Specifikace, vlastnosti, výroba a shoda	[5.2017]
ČSN P 73 2404	Beton - Specifikace, vlastnosti, výroba a shoda - Doplnující informace	[1.2016]
ČSN EN 1992-1-1	Eurokód 2: Navrhování betonových konstrukcí - Část 1-1: Obecná pravidla a pravidla pro pozemní stavby	ed. 2 [7.2011] Změna : A1 [11.2015]
ČSN EN 1992-2	Eurokód 2: Navrhování betonových konstrukcí - Část 2: Betonové mosty - Navrhování a konstrukční zásady	[5.2007] Oprava : Opr.1 [10.2009] Změna : Z1 [3.2010] Změna : Z2 [1.2014]
	Metodický pokyn pro určování zatížitelnosti železničních mostních objektů; SŽDC	[1.9.2015]
	Optimalizace trati Řevnice – Beroun; C.19; Propustek v km 33,835; Stavebně technický průzkum	[7.2007]

Vypracoval: Ing. Mattuš Jakub

Název akce	Optimalizace trati Karlštejn (mimo) - Beroun (mimo)	stránka	/	celkem
Vypracoval	Ing. Jakub Mattuš	27	/	67



## Zatížení

### Obecná zatížení dle ČSN EN 1991-1-1

#### Svislá zatížení

(zatížení od vlastní tíhy nosné konstrukce je počítáno automaticky výpočtetním softwarem)

##### Skladba konstrukce

Popis vrstvy	Pozn.	Tl. [mm]	Tíha [kN/m <sup>3</sup> ]	$g_k$ [kN/m <sup>2</sup> ]	$\gamma_f$ [-]	$g_d$ [kN/m <sup>2</sup> ]
Štěrkové lože	(*) 1100.1,3=	1430	20	28,60	1,35	38,61
Betonové ochranné vrstvy	ochrana hydroizolace	100	25	2,50	1,35	3,38
Hydroizolace				0,10	1,35	0,14
<b><math>h =</math></b>		<b>1530</b>	<b><math>\Sigma g_k =</math></b>	<b>31,20</b>	<b><math>\Sigma \gamma_f =</math></b>	<b>42,12</b>

(\*) Pozn. dle ČSN EN 1991-1-1 čl. 5.2.3 se má uvažovat s odchylkou tloušťky štěrkového lože od nominální tloušťky  $\pm 30\%$ . Vzhledem k charakteru nosné konstrukce je rozhodující tloušťka štěrkového lože zvětšená o 30% oproti nominální tloušťce.

##### Kolejnice a pražce

Popis	Pozn.	$g_k$ [kN/m <sup>1</sup> ]	$\gamma_f$ [-]	$g_d$ [kN/m <sup>1</sup> ]
2. kolejnice	UIC 60	1,20	1,35	1,62
Betonové pražce a upevňovací		4,80	1,35	6,48
<b><math>\Sigma g_k =</math></b>		<b>6,00</b>	<b><math>\Sigma \gamma_f =</math></b>	<b>8,10</b>

### Zemní tlak v klidu dle ČSN EN 1997-1

Prvek: Opěra

#### Obecně

Návrhový přístup 2 A1 "+" M1 "+" R2  
Přetížení na povrchu působí celoplošně  
Zemina je nesoudržná.

Použité vzorce

$$\sigma_r = \sigma_z K_r$$

$$K_r = 1 - \sin \varphi$$

#### Uvažované vlastnosti zemin

Objemová tíha	$\gamma =$	20,00 kN/m <sup>3</sup>
Úhel vnitřního tření	$\varphi_{ef} =$	30,00 °
Součinitel zatížení pro zeminu	$\gamma_G =$	1,35

#### Náhradní zatížení povrchu terénu - obecně

##### Železniční doprava

Viz. příslušný zatěžovací model (LM71, ....).

#### Přetížení povrchu

Přetížení od kolejové dopravy (LM71)	$f_k =$	63,02 kN/m <sup>2</sup>
	$f_d = f_k \gamma_Q =$	94,53 kN/m <sup>2</sup>
	$\gamma_Q =$	1,50

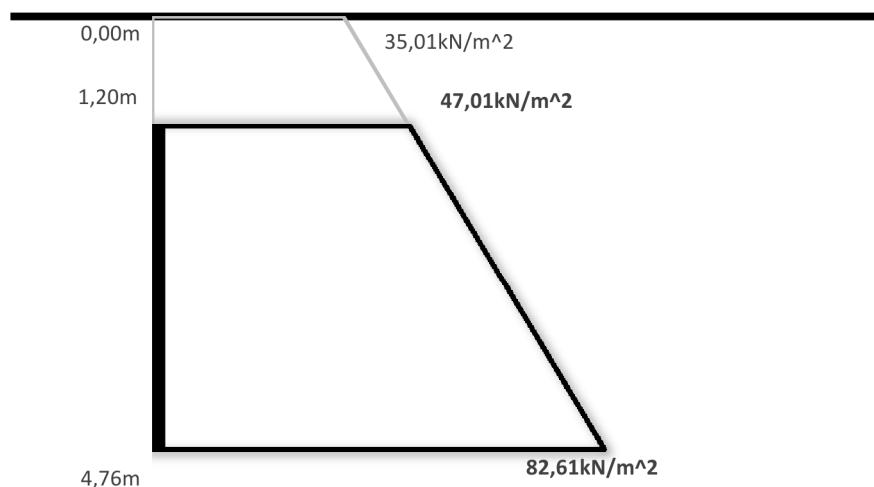


**Geometrie konstrukce**

Hloubka horní hrany konstrukce od povrchu	$z_A =$	1,20 m
Hloubka spodní hrany konstrukce od povrchu	$z_B =$	4,76 m

**Zemní tlak v klidu**

$z$	$\sigma_{z,d}$	$K_r$	$\sigma_{r,d}$	$\sigma_{r,d} / \gamma_g^*$
[m]	[kN/m <sup>2</sup> ]	[-]	[kN/m <sup>2</sup> ]	[kN/m <sup>2</sup> ]
0,00	94,53	0,50	47,27	35,01
1,20	126,93	0,50	63,47	<b>47,01</b>
4,76	223,05	0,50	111,53	<b>82,61</b>



\* Výpočtová hodnota zemního tlaku do výpočtu. Zjednodušeně byla tato hodnota zpětně doložena z návrhové hodnoty za použití součinitele  $\gamma_g$ . Skutečná výpočtová hodnota je ve skutečnosti menší, protože součinitel  $\gamma_q$  je větší než  $\gamma_g$ .

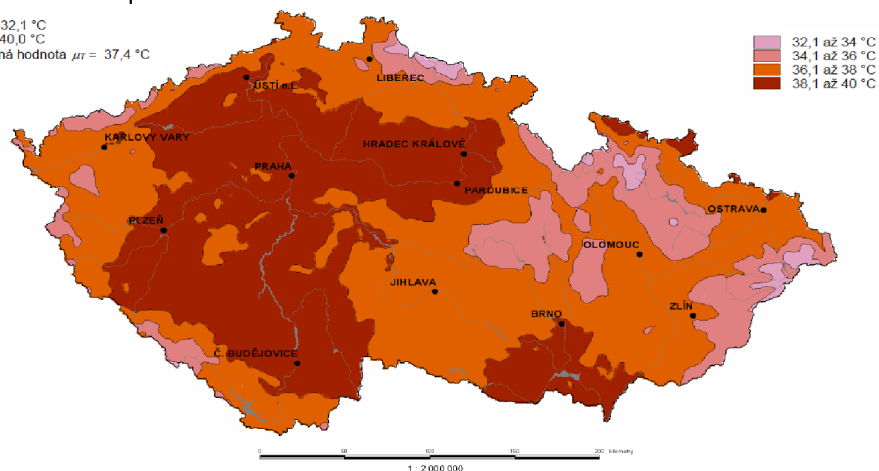
**Zatížení mostů teplotou  
dle ČSN EN 1991-1-5**
**Prvek: Propustek v km 33,835**
**Rovnoměrná složka teploty**

Minimální teplota vzduchu ve stínu	$T_{min} =$	-32,0 °C
Maximální teplota vzduchu ve stínu	$T_{max} =$	40,0 °C
Typ nosné konstrukce 3. typ betonová nosná konstrukce (betonová deska; betonový nosník; betonový komorový nosník)		
Minimální rovnoměrná složka teploty	$T_{e,min} =$	-24,0 °C
Maximální rovnoměrná složka teploty	$T_{e,max} =$	41,5 °C
Výchozí teplota	$T_0 =$	10 °C
Charakteristická hodnota maximálního rozsahu rovnoměrných teplot		
kladných	$\Delta T_{N.exp} = T_{e,max} - T_0 =$	<b>31,5 °C</b>
záporných	$\Delta T_{N.con} = -(T_0 - T_{e,min}) =$	<b>-34,0 °C</b>

**Hodnoty maximální teploty vzduchu ve stínu, která je překročena ročními maximy s pravděpodobností 0,02.**

Mapa maximálních teplot vzduchu ve stínu.

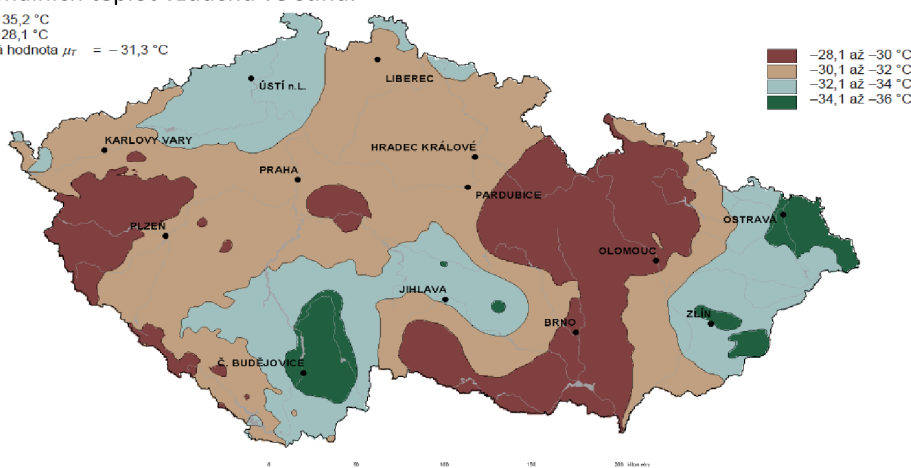
$T_{min} = 32,1\text{ }^{\circ}\text{C}$   
 $T_{max} = 40,0\text{ }^{\circ}\text{C}$   
 průměrná hodnota  $\mu_T = 37,4\text{ }^{\circ}\text{C}$



**Hodnoty minimální teploty vzduchu ve stínu, která je překročena ročními minimy s pravděpodobností 0,02.**

Mapa minimálních teplot vzduchu ve stínu.

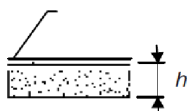
$T_{min} = -35,2\text{ }^{\circ}\text{C}$   
 $T_{max} = -28,1\text{ }^{\circ}\text{C}$   
 průměrná hodnota  $\mu_T = -31,3\text{ }^{\circ}\text{C}$



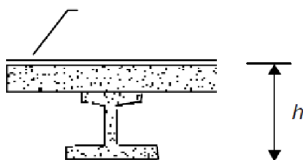
Název akce	Optimalizace trati Karlštejn (mimo) - Beroun (mimo)	stránka	/	celkem
Vypracoval	Ing. Jakub Matuší	30	/	67

**Rozdílové složky teploty (nosná kosntukce - 3.typu)**

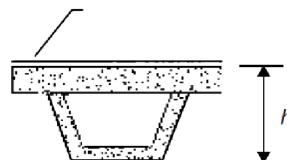
Oteplování a ochlazování horního povrchu nosné konstrukce mostu v určeném časovém intervalu vyvodí největší změny teplot vlivem oteplení (horní povrch teplejší) a největší změny teplot vlivem ochlazení (dolní povrch teplejší).

**Svislé složky teploty s nelineárními účinky (postup 2)**
**Geometrie**


Typ 3.a: betonová desková konstrukce



Typ 3.b: betonový nosník



Typ 3.c: betonový komorový nosník

**Výška nosné kosntukce**

$$h = 0,25 \text{ m}$$

Výška nosné kosntukce pro výpočet rozdílové složky teploty (je uvažována nejmenší nižší hodnota tloušťky z tabulky B.3 ČSN EN 1991-1-5)

$$h_o = 0,2 \text{ m}$$

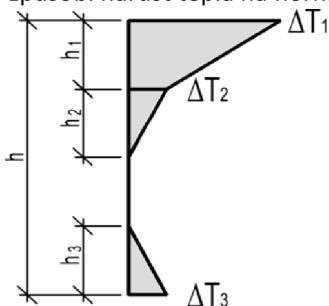
Tloušťka mostního svršku pro výpočet rozdílové složky teploty (je uvažována nejmenší nižší hodnota tloušťky z tabulky B.3 ČSN EN 1991-1-5)

$$h_s = 200 \text{ mm}$$

**Rozdíly teplot  $\varphi T_{heat}$  - oteplení**

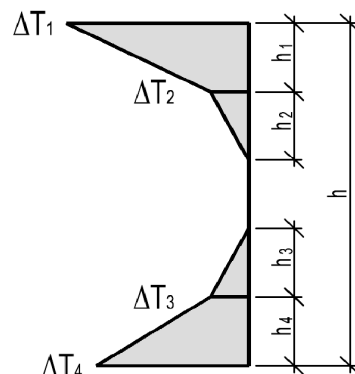
„oteplení“ - vztahuje k podmínkám, kdy sluneční záření a další účinky způsobí nárůst tepla na horním povrchu nosné konstrukce.

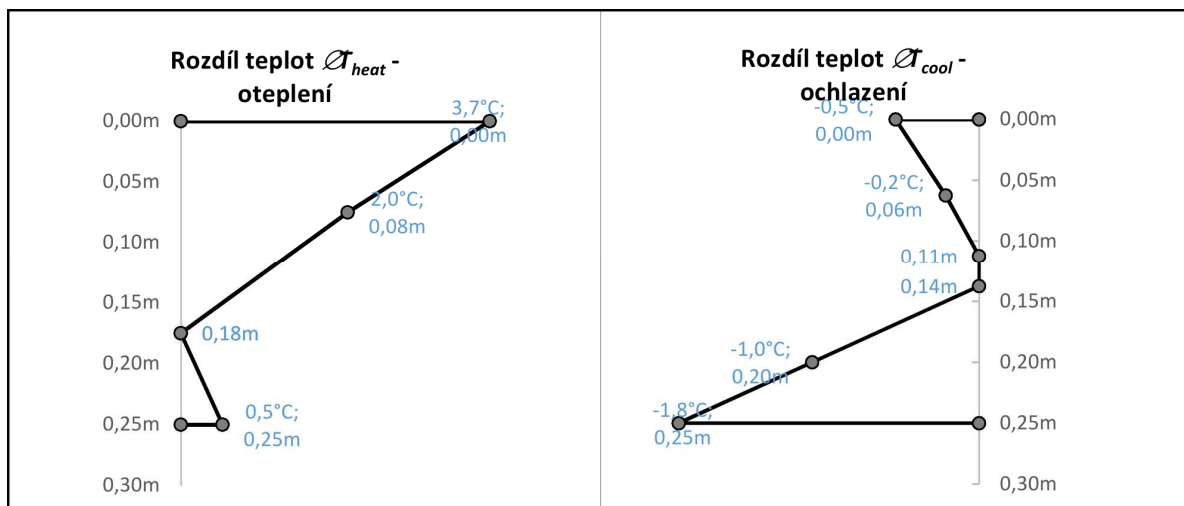
$h_1 =$	<b>0,08 m</b>	$\varphi T_1 =$	<b>3,7 °C</b>
$h_2 =$	<b>0,10 m</b>	$\varphi T_2 =$	<b>2,0 °C</b>
$h_3 =$	<b>0,075 m</b>	$\varphi T_3 =$	<b>0,5 °C</b>


**Rozdíly teplot  $\varphi T_{cool}$  - ochlazení**

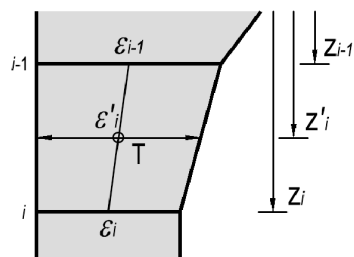
„ochlazení“ - vztahuje se k podmínkám, kdy se ztrácí teplo z horního povrchu nosné konstrukce vyzařováním a dalšími vlivy.

$h_1 =$	<b>0,05 m</b>	$\varphi T_1 =$	<b>-0,5 °C</b>
$h_2 =$	<b>0,06 m</b>	$\varphi T_2 =$	<b>-0,2 °C</b>
$h_3 =$	<b>0,06 m</b>	$\varphi T_3 =$	<b>-1,0 °C</b>
$h_4 =$	<b>0,05 m</b>	$\varphi T_4 =$	<b>-1,8 °C</b>




**Stanovení účinků svislé složky teploty**

Rozměry průřezu	$b =$	1,00 m	
	$h =$	0,25 m	
Součinitel teplotní roztažnosti	$\alpha =$	1,20E-05	
Modul pružnosti	$E_{cm} =$	33,00 GPa	Beton C30/37
Plocha id. průřezu	$A =$	0,25 m <sup>2</sup>	
Moment setrvačnosti id. průřezu	$I_y =$	1,30E-03 m <sup>4</sup>	
Průřezový modul	$W_y =$	1,04E-02 m <sup>3</sup>	


**Použité vzorce**

$$\sigma_i = E_{cm} \varepsilon_i$$

$$A_i = b h_i$$

$$F'_i = E_{cm} \varepsilon'_i A_i$$

**Oteplení**

Odpovídající poměrná přetvoření jednotlivých vrstev průřezu

$i$	$z_i$ [m]	$h_i$ [m]	$T_i$ [°C]	$\varepsilon_i$ [-]	$z'_i$ [m]	$\varepsilon'_i$ [-]
0	0		3,70	4,44E-05		
1	0,08	0,08	2,00	2,40E-05	0,03	3,42E-05
2	0,18	0,10	0,00	0,00E+00	0,11	1,20E-05
3	0,18	0,00	0,00	0,00E+00	0,00	0,00E+00
4	0,25	0,08	0,50	6,00E-06	0,23	3,00E-06

## Účinky zatížení

$i$	$z_i$ [m]	$E_{cm}$ [GPa]	$\sigma_i$ [MPa]	$A_i$ [m <sup>2</sup> ]	$F'_i$ [kN]	$F'_i z'_i$ [kNm]
0	0	33,00	1,47			
1	0,08	33,00	0,79	0,075	84,65	2,86
2	0,18	33,00	0,00	0,1	39,60	4,29
3	0,18	33,00	0,00	0	0,00	0,00
4	0,25	33,00	0,20	0,075	7,43	1,67
$\Sigma$					131,67	8,82

Celkové sekundární účinky

$$F_{x.sec} = \Sigma F'_i = 131,67 \text{ kN}$$

$$M_{y.sec} = \Sigma F'_i z'_i - \Sigma F'_i \cdot h/2 = -7,64 \text{ kNm}$$

Ekvivalentní napětí s lineárním průběhem, které vyvolá stejné silové účinky

$$\text{hor. povrch } \sigma_h = F_{x.sec} / A + M_{y.sec} / W = -0,21 \text{ MPa}$$

$$\text{dol. povrch } \sigma_d = F_{x.sec} / A - M_{y.sec} / W = 1,26 \text{ MPa}$$

**Odpovídající změna teploty (pro rozdílovou složku teploty - oteplení)**

$$\text{hor. povrch } \Delta T_{h.heat} = \sigma_h / (E_{cm} \alpha) = -0,52 \text{ °C}$$

$$\text{dol. povrch } \Delta T_{d.heat} = \sigma_d / (E_{cm} \alpha) = 3,18 \text{ °C}$$

Ochlazení						
Odpovídající poměrná přetvoření jednotlivých vrstev průřezu						
$i$	$z_i$ [m]	$h_i$ [m]	$T_i$ [°C]	$\varepsilon_i$ [-]	$z'_i$ [m]	$\varepsilon'_i$ [-]
0	0		-0,50	-6,00E-06		
1	0,05	0,05	-0,20	-2,40E-06	0,02	-4,20E-06
2	0,11	0,06	0,00	0,00E+00	0,07	-1,20E-06
3	0,14	0,03	0,00	0,00E+00	0,00	0,00E+00
4	0,20	0,06	-1,00	-1,20E-05	0,18	-6,00E-06
5	0,25	0,05	-1,80	-2,16E-05	0,23	-1,68E-05
Účinky zatížení						
$i$	$z_i$ [m]	$E_{cm}$ [GPa]	$\sigma_i$ [MPa]	$A_i$ [m <sup>2</sup> ]	$F'_i$ [kN]	$F'_i z'_i$ [kNm]
0	0	33,00	-0,20			
1	0,05	33,00	-0,08	0,05	-6,93	-0,15
2	0,11	33,00	0,00	0,0625	-2,48	-0,18
3	0,14	33,00	0,00	0,025	0,00	0,00
4	0,20	33,00	-0,40	0,0625	-12,38	-2,22
5	0,25	33,00	-0,71	0,05	-27,72	-6,30
				Σ	-49,50	-8,84
Celkové sekundární účinky						
$F_{x.sec} = \Sigma F'_i =$				-49,50 kN		
$M_{y.sec} = \Sigma F'_i z'_i - \Sigma F'_i \cdot h/2 =$				-2,66 kNm		
Ekvivalentní napětí s lineárním průběhem, které vyvolá stejné silové účinky						
hor. povrch $\sigma_h = F_{x.sec}/A + M_{y.sec}/W =$				-0,45 MPa		
dol. povrch $\sigma_d = F_{x.sec}/A - M_{y.sec}/W =$				0,06 MPa		
Odpovídající změna teploty (pro rozdílovou složku teploty - ochlazení)						
hor. povrch $\Delta T_{h.heat} = \sigma_h/(E_{cm} \alpha) =$				-1,14 °C		
dol. povrch $\Delta T_{d.heat} = \sigma_d/(E_{cm} \alpha) =$				0,14 °C		

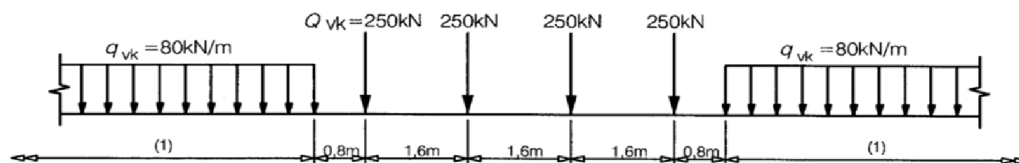
<b>Současné působení rovnoměrné a rozdílové složky teploty</b>	
Jestliže je nutné uvažovat současně rozdíl teplot $\Delta T_{M,heat}$ (nebo $\Delta T_{M,cool}$ ) a maximální rozsah rovnoměrné složky teploty mostu $\Delta T_{N,exp}$ (nebo $\Delta T_{N,con}$ ), např. u rámových konstrukcí, lze použít následující vztahy (které se mohou považovat za kombinace zatížení):	
$\varepsilon T_{heat}$ (nebo $\varepsilon T_{cool}$ ) + $\omega_N \varepsilon T_{N,exp}$ (nebo $\varepsilon T_{M,con}$ )	
nebo	
$\omega_M \varepsilon T_{heat}$ (nebo $\varepsilon T_{cool}$ ) + $\varepsilon T_{N,exp}$ (nebo $\varepsilon T_{M,con}$ )	
$\omega_N =$	0,35
$\omega_M =$	0,75

**Zatížení od kolejové dopravy pro ŽB konstrukce**  
(prosté nosníky, jednoduché a uzavřené rámy) dle ČSN EN 1991-2: Z4; ČSN EN 1991-1-4

**Prvek:** Propustek v km 33,835

**Model zatížení 71 (LM71)**

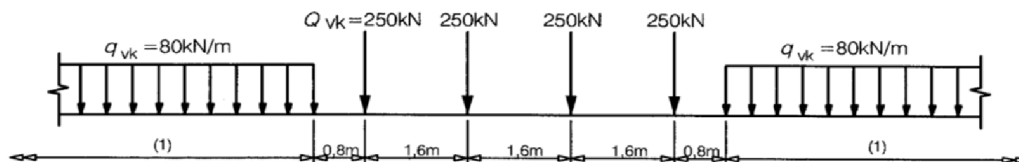
Charakteristické hodnoty svislých zatížení



Klasifikační součinitel	$\alpha =$	1,21 (trať 1. a 2. třídy)
Součinitel zatížení	$\gamma_{Q,LM71} =$	1,45
Dynamický součinitel	$\phi_3 =$	1,97 (pro MSÚ)
	$\phi_2 =$	1,65 (pro MSP)

**Model zatížení 71 (LMC71) - pro stanovení zatížitelnosti**

Charakteristické hodnoty svislých zatížení



Klasifikační součinitel	$\alpha =$	1,00
Součinitel zatížení	$\gamma_{Q,LM71} =$	1,45 (Nosné prvky mostních objektů mladších než 30 let.)
Dynamický součinitel	$\phi_3 =$	1,97 (pro MSÚ)
	$\phi_2 =$	1,65 (pro MSP)

**Excentricita svislých zatížení**

Pro model zatížení LM71.

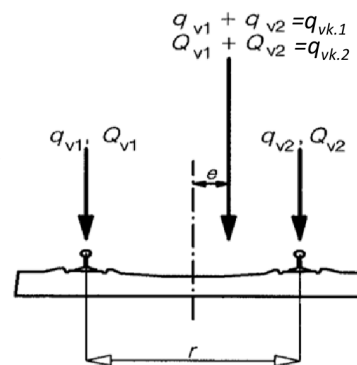
$r =$  1500 mm  
 $e \leq r/18 =$  83 mm

Odpovídající moment, který vyvolá excentricita svislých zatížení

$M_{ex.k.2} = q_{vk.2} \cdot e =$  13,02 kNm/m \*

$M_{ex.k.1} = q_{vk.1} \cdot e =$  6,67 kNm/m

\* Uvažováno s podélným roznosem (viz dále).

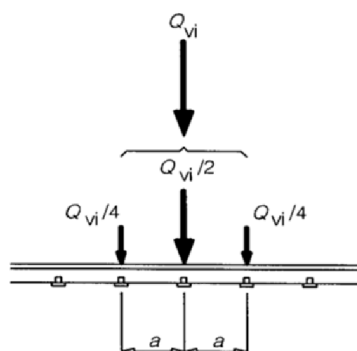


Dynamické účinky				
Náhradní délka $L_\phi$				
číslo pole $i$	rozpětí polí $L$ [m]	počet polí $n$	$k$	$L_m = 1/n(L_1 + L_2 + L_3 + L_4)$ $L_m =$ 2,70 m $L_\phi = kL_m$ (ne méně než $\max L_i (i=1, \dots, n)$ $L_\phi =$ 3,78 m
1.	2,30	4	1,4	
2.	3,10			
3.	3,10			
4.	2,30			
Meze vlastních frekvencí $n_o$ [Hz] mostu jako funkce $L_\phi$ [m].				
Horní mez			Dolní mez (pro $4\text{m} \leq L \leq 20\text{m}$ )	
$n_{o.h} = 94,76 L_\phi^{-0,748} =$ 35,05 Hz			$n_{o.d} = 80/L_\phi =$ 20,00 Hz	
První vlastní frekvence pro danou konstrukci při uvážení hmotnosti od stálých zatížení				
$n_o =$ 21,84 Hz				
$n_{o.d}$	<	$n_o$	<	$n_{o.h}$
20,00Hz	<	21,84Hz	<	35,05Hz
				VYHOVUJE
Dynamická analýza není požadována. Posouzení rezonančního zrychlení a posouzení na únavu při rezonanci není požadováno.				
Použití dynamického součinitele $\phi$ se statickou analýzou.				
Dynamický součinitel				
Pro model zatížení LM 71			Pro posouzení mezního stavu použitelnosti	
Pro posouzení mezního stavu únosnosti STR				
$\phi_3 = \frac{2,16}{\sqrt{L_\phi} - 0,2} + 0,73 \geq 1,00; \leq 2,00$			$\phi_2 = \frac{1,44}{\sqrt{L_\phi} - 0,2} + 0,82 \geq 1,00; \leq 1,67$	
$\phi_3 =$ 1,97			$\phi_2 =$ 1,65	

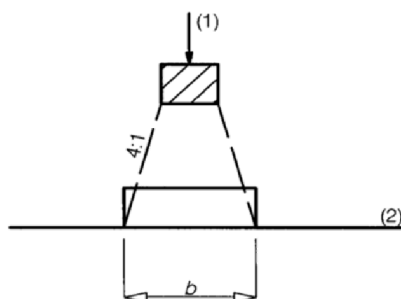


**Roznášení nápravových zatížení kolejnicemi, pražci a kolejovým ložem**
**Podélné roznášení osamělé síly nebo kolového zatížení kolejnicí**

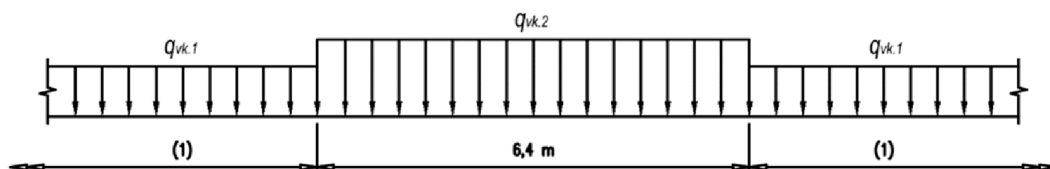
Podélné roznášení osamělé síly nebo kolového zatížení kolejnicí



Podélné roznášení zatížení pražci a kolejovým ložem



Skupina nápravových sil zatěžovacího schématu LM71 nahrazená rovnoměrným zatížením rozneseným podélně na zatěžovací délku 6,4m.

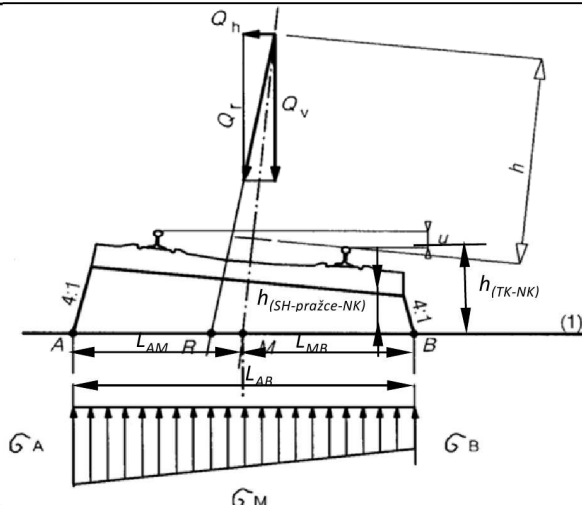


$$q_{vk.1} = 80,00 \text{ kN/m}$$

$$q_{vk.2} = 4Q_{vk}/6,40 = 156,25 \text{ kN/m}$$

**Příčné roznášení zatížení pražci a kolejovým ložem pro kolej s převýšením**
**Příčné roznášení zatížení pražci a kolejovým ložem pro kolej bez převýšení (pro  $u = 0,0\text{ m}$ )**

$h =$	1,8 m
$u =$	0,00 m
$L_{\text{pražce}} =$	2,60 m
$h_{(SH \text{ pražce} - NK)} =$	0,90 m
$h_{(TK - NK)} =$	1,30 m
$L_{AB} =$	<b>3,05 m</b>
$L_{AM} =$	1,53 m
$L_{MB} =$	1,53 m



**Hodnoty svislých zatížení LM71 bez dynamického a klasifikačního součinitele (uvažováno s podél. roznosem; bez dynamického a klasifikačního součinitele)**



$q_{vk.2} =$	(podél. roznos)	156,3 kN/m	$q_{vk.1} =$	80,0 kN/m
--------------	-----------------	------------	--------------	-----------

Odpovídající ohybový moment k bodu M

$M_{Mk.2} =$	0,0 kNm/m	$M_{Mk.1} =$	0,0 kNm/m
$\sigma_{A.2} =$	<b>51,2 kPa</b>	$\sigma_{A.1} =$	<b>26,2 kPa</b>
$\sigma_{B.2} =$	<b>51,2 kPa</b>	$\sigma_{B.1} =$	<b>26,2 kPa</b>

**Hodnoty vodorovných zatížení odpovídající LM71 vyvolané odstředivými silami (max. hodnota ze zatěžovacích případů a) a b)), které vyvolávají svislé reakce do NK (uvažováno s podél. roznosem; bez klasifikačního součinitele; neztvrdňuje se dynamickým souč.)**

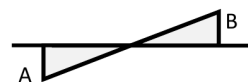


$q_{hk.2} = 4 \cdot Q_{tk} / 6,4 =$	<b>0,1 kN/m</b>	$q_{hk.2} = q_{tk} =$	<b>0,1 kN/m</b>
-------------------------------------	-----------------	-----------------------	-----------------

Odpovídající ohybový moment k bodu M

$M_{Mk.2} =$	0,5 kNm/m	$M_{Mk.1} =$	0,2 kNm/m
$\sigma_{A.2} =$	<b>0,3 kPa</b>	$\sigma_{A.1} =$	<b>0,2 kPa</b>
$\sigma_{B.2} =$	<b>-0,3 kPa</b>	$\sigma_{B.1} =$	<b>-0,2 kPa</b>

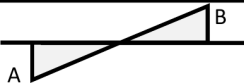
**Hodnoty zatížení od excentricit svislých zatížení modelu LM71, které vyvolají svislé reakce do NK (uvažováno s podélným roznosem; bez dynamického součinitele a klasifikačního součinitele)**



Odpovídající ohybový moment k bodu M

$M_{ex.k.2} =$	13,0 kNm/m	$M_{ex.k.1} =$	6,7 kNm/m
$\sigma_{A.2} =$	<b>8,4 kPa</b>	$\sigma_{A.1} =$	<b>4,3 kPa</b>
$\sigma_{B.2} =$	<b>-8,4 kPa</b>	$\sigma_{B.1} =$	<b>-4,3 kPa</b>

<b>Hdonoty zatížení větrem na kolejové vozidlo, které vyvolávají svislé reakce do NK</b>			
$f_{w.b1.k} =$	<b>7,23 kN/m</b>		
Odpovídající ohybový moment k bodu M			
$M_k = f_{w.b1.k} \cdot (h_w + h_{(TK-NK)})$	<b>23,86 kNm/m</b>		
$\sigma_{A.1} = \sigma_{A.2} =$	<b>15,4 kPa</b>		
$\sigma_{B.1} = \sigma_{B.2} =$	<b>-15,4 kPa</b>		
<b>Kontrolní součet</b>			
$\Sigma \sigma_{A.2} =$	<b>75,3 kPa</b>	$\Sigma \sigma_{A.1} =$	<b>46,1 kPa</b>
$\Sigma \sigma_{B.2} =$	<b>27,1 kPa</b>	$\Sigma \sigma_{B.1} =$	<b>6,4 kPa</b>

<b>Hdonoty zatížení od bočního rázu, které vyvolávají svislé reakce do NK</b>		
Odpovídající ohybový moment k bodu M		Odpovídající ohybový moment k bodu M s uvažováním roznosu v podélném směru
$M_{sk} =$	130,00 kNm	$M_{sk,b} =$ 118,18 kNm/m
<i>Odpovídající vodorovná síla (působící na šířku b)</i>		
$q_{sk} = Q_{sk}/b =$	90,91 kN/m	
V podélném směru je zjednodušeně uvažováno s rovnoměrným roznosem na šířku b		
$b =$	1,10 m	
$\sigma_A =$	76,23 kPa	
$\sigma_B =$	-76,23 kPa	

<b>Boční ráz</b>	
Osamělá síla, působící vodorovně v úrovni temene kolejnic kolmo na osu koleje. Boční ráz je kombinován se svislým zatížením dopravou.	
Charakteristická hodnota	Klasifikovaná charakteristická hodnota
$Q_{sk} =$ <b>100 kN</b>	$Q_{sk} \alpha =$ <b>121 kN</b>
Výška (od NK po TK)	Charakteristická hodnota ohybového momentu v úrovni NK
$h_{(TK-NK)} + u =$ <b>1,30 m</b>	$M_{sk} = Q_{sk} h =$ <b>130 kNm</b>

<b>Zatížení od rozjezdu a brždění</b>	
Charakteristické hodnoty rozjezdových a brzdných sil	
Rozjezdová síla (pro modely zatížení 71)	
$Q_{lak} =$ <b>33 [kN/m]</b>	$L_{a,b} [m] \leq 1000 [kN]$
Brzdná síla	
$Q_{lbk} =$ <b>20 [kN/m]</b>	$L_{a,b} [m] \leq 1000 [kN]$
Charakteristické hodnoty rozjezdových a brzdných sil se nesmí násobit součinitelem $\phi$ . Hodnoty se mají násobit klasifikačním součinitelem $\alpha$ .	
$L_{ab}$	příčiňující délka

**Ekvivalentní svislé zatížení od kolejové dopravy pro zemní těleso a účinky zemního tlaku**

Odpovídající modelu LM71

Uvažuje se s rovnoměrným rozložením:

- bodové síly  $Q_{vk}$  na šířku 3,0m a déku 1,6m  $f_{k,Q} = \alpha Q_{vk} / (3,0 \cdot 1,6) =$  **63,02 kN/m<sup>2</sup>**
- liniového zatížení  $Q_{vk}$  na šířku 3,0m  $f_{k,q} = \alpha q_{vk} / (3,0) =$  **32,27 kN/m<sup>2</sup>**

Není uvažováno s dynamickým součinitelem.

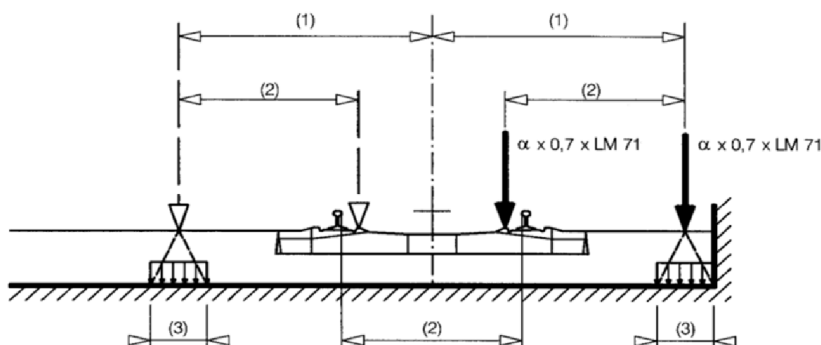
Zatížení působí v úrovni 0,7m pod pojížděnou plochou.

**Zatížení od vykolejení železniční dopravy (mimořádné zatížení)**
**Návrhová situace I:**

Vykolejení železničních vozidel, kdy vykolejená vozidla zůstanou v prostoru koleje na nosné konstrukci a vozidla jsou zadržena sousední kolejnicí nebo postranní stěnou nebo okrajovým nosníkem.

Busí být vyloučeno zřícení hlavní části nosné konstrukce. Místní poškození však lze tolerovat. Části dotčených konstrukcí se musí navrhnout na následující návrhová zatížení v mimořádné návrhové situaci.

Dynamický součinitel není uvažován.



- (1) 1,5s nebo méně pokud je tam stěna
- (2) rozchod koleje  $s =$  1,45 m
- (3) pro mosty s kolejovým ložem lze předpokládat že osamělé síly působí na čtverci o straně 450mm na horním povrchu nosné konstrukce

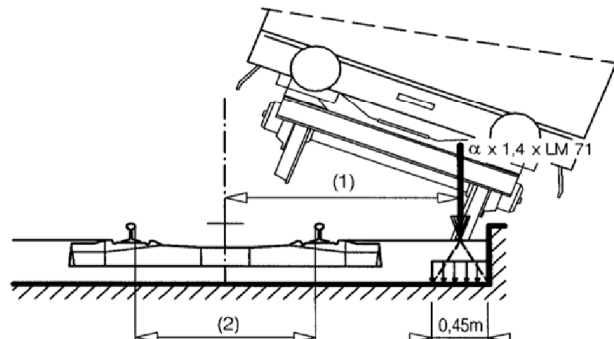
Osamělá síla	Osamělá síla rozpočtená do plochy 0,450*0,450 [m]
$Q_{A1k} = \alpha \cdot 0,7 \cdot Q_{v1k} =$ <b>211,75 kN</b>	$Q_{A1k} / 0,45^2 =$ <b>1045,68 kN/m<sup>2</sup></b>
Liniové zatížení	Liniové zatížení rozpočtené na šířku 0,45 [m]
$q_{A1k} = \alpha \cdot 0,7 \cdot q_{vk} =$ <b>67,76 kN/m</b>	$q_{A1k} / 0,45 =$ <b>150,58 kN/m<sup>2</sup></b>

**Návrhová situace II:**

Vykolejení železničních vozidel, kdy vykolejená vozidla jsou zachycena na okraji mostu a zatěžují okraj nosné konstrukce (kromě nenosných prvků jako chodník pro pěší).

Při návrhové situaci II se most nemá převrátit nebo zřítit.

Dynamický součinitel není uvažován.



(1) zatížení působící na okraji konstrukce

(2) rozchod koleje s

Pro určení celkové stability se musí na maximální celkové délce 20 m uvažovat  $q_{A2d}$ .

Osamělá síla	Osamělá síla rozpočtená do plochy 0,450*0,450 [m]
$Q_{A2k} = \alpha \cdot 1,4 \cdot Q_{vk} =$ <b>423,5 kN</b>	$Q_{A2k} / 0,45^2 =$ <b>2091,36 kN/m<sup>2</sup></b>
Liniové zatížení	Liniové zatížení rozpočtené na šířku 0,45 [m]
$q_{A2k} = \alpha \cdot 1,4 \cdot q_{vk} =$ <b>135,52 kN/m</b>	$q_{A2k} / 0,45 =$ <b>301,16 kN/m<sup>2</sup></b>

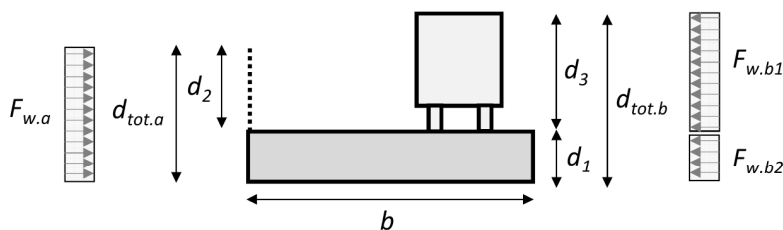
**Zatížení větrem dle ČSN EN 1991-1-4 ve směru x (obecná metoda)**

 Součinitel sil pro zatížení nosné konstrukce  $c_{f,x} = c_{f,x,0} =$  1,30

Nosná konstrukce s plnostěnnými nosníky

**Geometrie**

$d_1 =$  1,60 m neprodyšné části konstrukcí pod TK  
 $d_2 =$  0,30 m neprodyšné části konstrukcí nad TK, ale nejméně 0,3m  
 $d_3 =$  4,00 m  
 $b =$  10,60 m šířka nosné konstrukce  
 $z_e =$  3,13 m referenční výška - vzdálenost od nejnižší úrovně terénu ke středu hlavní nosné konstrukce



Kategorie terénu II Oblasti s nízkou vegetací jako je tráva a s izolovanými překážkami (stromy, budovy), jejichž vzdálenosti jsou větší než 20násobek výšky překážek

 $c_0 =$  1,00

 $k_1 =$  1,00

Základní rychlost větru

 $v_b = c_{dir} \cdot c_{season} \cdot v_{b,0}$   $c_{dir} =$  1,00  $c_{season} =$  1,00

Měrná hmotnost vzduchu

 $\rho =$  1,25 kg/m<sup>3</sup>

Síla větru ve směru osy x

$$F_w = \frac{1}{2} \delta v_b^2 c A_{ref,x}$$

Pozn. Zatížení větrem na nosou konstrukci (a) a zatížení větrem od dopravy (b) se navzájem alternují.

**(a) Zatížení větrem na nosnou konstrukci**

$$d_{tot.a} = d_1 + d_3 = 1,90 \text{ m}$$

$$b/d_{tot} = 5,58$$

Základní výchozí rychlost větru

$$v_{b,0} = v_b = 25,0 \text{ m/s} \quad (\text{větrová oblast II.})$$

Součinitel zatížení větrem

$$c = 3,60$$

Charakteristické liniové zatížení vyvolané větrem na nosnou konstrukci

$$f_{w.a.k} = 1/2 \rho \cdot v_b^2 \cdot c \cdot d_{tot.a} = 2,67 \text{ kN/m}$$

**(b) Zatížení větrem od dopravy**

$$d_{tot.b} = \{d_1 + d_3 \text{ (pro } d_3 > d_2); d_1 + d_2 \text{ (pro } d_3 < d_2)\} = 5,60 \text{ m}$$

$$b/d_{tot} = 1,89$$

Základní výchozí rychlost větru

$$v_{b,0}^{**} = v_b^{**} = 23,0 \text{ m/s}$$

Součinitel zatížení větrem

$$c = 5,47$$

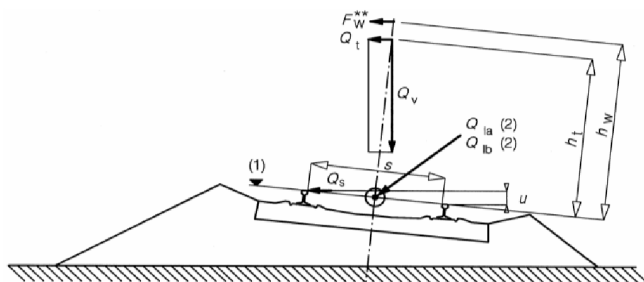
Charakteristické složka liniového zatížení vyvolané větrem na nosnou konstrukci

$$f_{w.b2.k} = 1/2 \rho \cdot v_b^{**2} \cdot c \cdot d_1 = 3,42 \text{ kN/m}$$

Charakteristické složka liniového zatížení vyvolané větrem na kolejové vozidlo

$$f_{w.b1.k} = 1/2 \rho \cdot v_b^{**2} \cdot c \cdot d_3 = f_w^{**} = 7,23 \text{ kN/m}$$

$$h_w = 2,00 \text{ m}$$



**Zatěžovací stavy a kombinace**
**Sastavení kombinací zatížení od kolejové dopravy  
dle ČSN EN 1990**
**Prvek: Propustek v km 33,835**
**Zatěžovací stavy**

č.z.s.	název zatěžovacího stavu	skupina	řídící zatěž. stav*
LC1	VLASTNÍ TÍHA	LG1	
LC2	STÁLÉ	LG1	
LC3	ZEMNÍ TLAKY	LG2	
LC4	LM71 - 01 - SVISLÉ	LG3	
LC5	LM71 - 01 - EXCENTRICITA	LG4	LC4
LC6	LM71 - 01 - VODOROVNÉ - ODSTŘEDIVÉ SÍLY	LG4	LC4
LC7	LM71 - 01 - VÍTR	LG4	LC4
LC8	LM71 - 01 - ROZJEZDOVÁ SÍLA	LG4	LC4
LC9	LM71 - 01 - BOČNÍ RÁZ	LG4	LC4
LC10	LM71 - 02 - SVISLÉ	LG3	
LC11	LM71 - 02 - EXCENTRICITA	LG5	LC10
LC12	LM71 - 02 - VODOROVNÉ - ODSTŘEDIVÉ SÍLY	LG5	LC10
LC13	LM71 - 02 - VÍTR	LG5	LC10
LC14	LM71 - 02 - ROZJEZDOVÁ SÍLA	LG5	LC10
LC15	LM71 - 02 - BOČNÍ RÁZ	LG5	LC10
LC16	VÍTR	LG6	
LC17	UŽITNÉ	LG7	
LC18	TEPLOTA - ROVNOMĚRNÁ SLOŽKA - OTEPLENÍ	LG8	
LC19	TEPLOTA - ROVNOMĚRNÁ SLOŽKA - OCHLAZENÍ	LG8	
LC20	TEPLOTA - ROZDÍLOVÁ SLOŽKA - OTEPLENÍ	LG9	
LC21	TEPLOTA - ROZDÍLOVÁ SLOŽKA - OCHLAZENÍ	LG9	
LC22	LM71 - 01 - MIMOŘÁDNÉ - SITUACE I	LG10	
LC23	LM71 - 01 - MIMOŘÁDNÉ - SITUACE II	LG10	
LC24	LM71 - 02 - MIMOŘÁDNÉ - SITUACE I	LG10	
LC25	LM71 - 02 - MIMOŘÁDNÉ - SITUACE II	LG10	

Pozn.: \* Určitý zatěžovací stav může být zahrnut do kombinace pouze, pokud je v kombinaci zahrnut jiný určený (řídící) zatěžovací stav.

LM71 - 01 - Zatížení, je v takové poloze, které vyvolá maximální účinky uprostřed pole.

LM71 - 02 - Zatížení, je v takové poloze, které vyvolá maximální účinky nad podporou.

Skupiny zatížení			
skupina	typ působení	vztah	poznámka
LG1	stálé	-	STÁLÉ
LG2	proměnné	standard	ZEMNÍ TLAKY
LG3	proměnné	výběrová	LM71 - 01 - SVISLÉ; LM71 - 01 - SVISLÉ
LG4	proměnné	standard	LM71 - 01
LG5	proměnné	standard	LM71 - 02
LG6	proměnné	standard	VÍTR
LG7	proměnné	standard	UŽITNÉ
LG8	proměnné	výběrová	TEPLOTA - ROVNOMĚRNÁ SLOŽKY
LG9	proměnné	výběrová	TEPLOTA - ROZDÍLOVÁ SLOŽKA
LG10	proměnné	výběrová	LM71 - MIMOŘÁDNÁ SITUACE





Názvy kombinací	
č.k.	název kombinace
C01	MSÚ - LM71
C02	MSÚ - LM71 (ZATÍŽITELNOST)
C03	MSP - CHARAKTERISTICKÁ
C04	MSP - KVAZISTÁLÁ
C05	MSÚ - POUZE LM71 (ZATÍŽITELNOST)
C06	MSÚ - VSE KROMĚ LM71 (ZATÍŽITELNOST)
C07	MSP - POUZE LM71 (ZATÍŽITELNOST)
C08	MSP - VSE KROMĚ LM71 (ZATÍŽITELNOST)
C09	MIMOŘÁDNÁ
C99	SOILIN
Pozn.:	
Kombinace C99 slouží pro výpočet pružných konstant podloží modulem SOILIN.	

Hodnoty jednotlivých součinitelů			
Klasifikační součinitel		$\alpha = 1,21$	
		$\alpha_{zat} = 1,00$ (pro výpočet zatížitelnosti)	
Součinitel zat.	stálá zatížení	$\gamma_G = 1,35$	
		$\gamma_{G,NK} = 1,30$ (NK - pro výpočet zatížitelnosti)	
		$\gamma_{G,0} = 1,30$ (ostatní - pro výpočet zatížitelnosti)	
	železniční doprava	$\gamma_{Q,LM71} = 1,45$	
		$\gamma_{Q,LM71} = 1,45$ (pro výpočet zatížitelnosti)	
	vítr	$\gamma_{Q,W} = 1,50$	
		$\gamma_{Q,W} = 1,50$ (pro výpočet zatížitelnosti)	
	ostatní nahodilá včetně teploty	$\gamma_Q = 1,50$	
Dynamický součinitel		$\phi_3 = 1,97$ (pro MSÚ)	
		$\phi_2 = 1,65$ (pro MSP)	
Kombinační součinitel	LM71	$\psi_2 = 0,00$	
	vítr	$\psi_2 = 0,00$	
	teplota	$\psi_2 = 0,50$	

Klíč kombinací
Mezní stav použitelnosti
Charakteristická kombinace
$\{G_{k,j,sup}; G_{k,j,inf}\} + P + Q_{k,1} + \psi_{0,i} Q_{k,i}$
Častá kombinace
$\{G_{k,j,sup}; G_{k,j,inf}\} + P + \psi_{1,1} Q_{k,1} + \psi_{2,i} Q_{k,i}$
Kvazistálá kombinace
$\{G_{k,j,sup}; G_{k,j,inf}\} + P + \psi_{2,1} Q_{k,1} + \psi_{2,i} Q_{k,i}$
Mezní stav únosnosti
Nepříznivá kombinace (výraz 6.10)
$1,35 G_{k,j,sup} + \gamma_P P + \gamma_{Q,1} Q_{k,1} + \gamma_{Q,i} \psi_{0,i} Q_{k,i}$
Mimořádná návrhová situace
$G_{k,j,sup} + A_d + \psi_{2,1} Q_{k,1} + \psi_{2,i} Q_{k,i}$

Název akce	Optimalizace trati Karlštejn (mimo) - Beroun (mimo)	stránka	/	celkem
Vypracoval	Ing. Jakub Mattuš	45	/	67



Klíč součinitelů použitých v jednotlivých kombinacích											
zatěžovací stav / kombinace		C01	C02	C03	C04	C05	C06	C07	C08	C09	C99
LC1	VLASTNÍ TÍHA	$\gamma_G$	$\gamma_{G.NK}$	1	1	-	$\gamma_{G.NK}$	-	1	1	1
LC2	STÁLÉ	$\gamma_G$	$\gamma_{G.O}$	1	1	-	$\gamma_{G.O}$	-	1	1	1
LC3	ZEMNÍ TLAKY	$\gamma_G$	$\gamma_{G.O}$	1	1	-	$\gamma_{G.O}$	-	1	1	1
LC4	LM71 - 01 - SVISLÉ	$\alpha$ $\gamma_{QLM71}$ $\phi_3$	$\alpha_{zat}$ $\gamma_{QLM71}$ $\phi_3$	$\alpha$ $\phi_2$	$\alpha$ $\phi_2$ $\psi_2$	$\alpha_{zat}$ $\gamma_{QLM71}$ $\phi_3$	-	$\alpha_{zat}$ $\phi_2$	-	-	-
LC5	LM71 - 01 - EXCENTRICITA	$\alpha$ $\gamma_{QLM71}$ $\phi_3$	$\alpha_{zat}$ $\gamma_{QLM71}$ $\phi_3$	$\alpha$ $\phi_2$	$\alpha$ $\phi_2$ $\psi_2$	$\alpha_{zat}$ $\gamma_{QLM71}$ $\phi_3$	-	$\alpha_{zat}$ $\phi_2$	-	-	-
LC6	LM71 - 01 - VODOROVNÉ - ODSTŘEDIVÉ SÍLY	$\alpha$ $\gamma_{QLM71}$	$\alpha_{zat}$ $\gamma_{QLM71}$	$\alpha$	$\alpha$ $\psi_2$	$\alpha_{zat}$ $\gamma_{QLM71}$	-	$\alpha_{zat}$	-	-	-
LC7	LM71 - 01 - VÍTR	$\alpha$ $\gamma_{QLM71}$	$\alpha_{zat}$ $\gamma_{QLM71}$	$\alpha$	$\alpha$ $\psi_2$	$\alpha_{zat}$ $\gamma_{QLM71}$	-	$\alpha_{zat}$	-	-	-
LC8	LM71 - 01 - ROZJEZDOVÁ SÍLA	$\alpha$ $\gamma_{QLM71}$	$\alpha_{zat}$ $\gamma_{QLM71}$	$\alpha$	$\alpha$ $\psi_2$	$\alpha_{zat}$ $\gamma_{QLM71}$	-	$\alpha_{zat}$	-	-	-
LC9	LM71 - 01 - BOČNÍ RÁZ	$\alpha$ $\gamma_{QLM71}$	$\alpha_{zat}$ $\gamma_{QLM71}$	$\alpha$	$\alpha$ $\psi_2$	$\alpha_{zat}$ $\gamma_{QLM71}$	-	$\alpha_{zat}$	-	-	-
LC10	LM71 - 02 - SVISLÉ	$\sigma$	$\alpha_{zat}$ $\gamma_{QLM71}$ $\phi_3$	$\alpha$ $\phi_2$	$\alpha$ $\phi_2$ $\psi_2$	$\alpha_{zat}$ $\gamma_{QLM71}$ $\phi_3$	-	$\alpha_{zat}$ $\phi_2$	-	-	-
LC11	LM71 - 02 - EXCENTRICITA	$\alpha$ $\gamma_{QLM71}$ $\phi_3$	$\alpha_{zat}$ $\gamma_{QLM71}$ $\phi_3$	$\alpha$ $\phi_2$	$\alpha$ $\phi_2$ $\psi_2$	$\alpha_{zat}$ $\gamma_{QLM71}$ $\phi_3$	-	$\alpha_{zat}$ $\phi_2$	-	-	-
LC12	LM71 - 02 - VODOROVNÉ - ODSTŘEDIVÉ SÍLY	$\alpha$ $\gamma_{QLM71}$	$\alpha_{zat}$ $\gamma_{QLM71}$	$\alpha$	$\alpha$ $\psi_2$	$\alpha_{zat}$ $\gamma_{QLM71}$	-	$\alpha_{zat}$	-	-	-
LC13	LM71 - 02 - VÍTR	$\alpha$ $\gamma_{QLM71}$	$\alpha_{zat}$ $\gamma_{QLM71}$	$\alpha$	$\alpha$ $\psi_2$	$\alpha_{zat}$ $\gamma_{QLM71}$	-	$\alpha_{zat}$	-	-	-
LC14	LM71 - 02 - ROZJEZDOVÁ SÍLA	$\alpha$ $\gamma_{QLM71}$	$\alpha_{zat}$ $\gamma_{QLM71}$	$\alpha$	$\alpha$ $\psi_2$	$\alpha_{zat}$ $\gamma_{QLM71}$	-	$\alpha_{zat}$	-	-	-
LC15	LM71 - 02 - BOČNÍ RÁZ	$\alpha$ $\gamma_{QLM71}$	$\alpha_{zat}$ $\gamma_{QLM71}$	$\alpha$	$\alpha$ $\psi_2$	$\alpha_{zat}$ $\gamma_{QLM71}$	-	$\alpha_{zat}$	-	-	-
LC16	VÍTR	$\gamma_{Q.W}$	$\gamma_{Q.W}$	1	$\psi_2$	-	$\gamma_{Q.W}$	-	1	-	-
LC17	UŽITNÉ	$\gamma_Q$	$\gamma_Q$	1	1	-	$\gamma_Q$	-	1	-	-
LC18	TEPLOTA - ROVNOMĚRNÁ SLOŽKA - OTEPLENÍ	$\gamma_Q$	$\gamma_Q$	1	$\psi_2$	-	$\gamma_Q$	-	1	$\psi_2$	-
LC19	TEPLOTA - ROVNOMĚRNÁ SLOŽKA - OCHLAZENÍ	$\gamma_Q$	$\gamma_Q$	1	$\psi_2$	-	$\gamma_Q$	-	1	$\psi_2$	-
LC20	TEPLOTA - ROZDÍLOVÁ SLOŽKA - OTEPLENÍ	$\gamma_Q$	$\gamma_Q$	1	$\psi_2$	-	$\gamma_Q$	-	1	$\psi_2$	-
LC21	TEPLOTA - ROZDÍLOVÁ SLOŽKA - OCHLAZENÍ	$\gamma_Q$	$\gamma_Q$	1	$\psi_2$	-	$\gamma_Q$	-	1	$\psi_2$	-
LC22	LM71 - 01 - MIMOŘÁDNÉ - SITUACE I	-	-	-	-	-	-	-	-	1	-
LC23	LM71 - 01 - MIMOŘÁDNÉ - SITUACE II	-	-	-	-	-	-	-	-	1	-
LC24	LM71 - 02 - MIMOŘÁDNÉ - SITUACE I	-	-	-	-	-	-	-	-	1	-
LC25	LM71 - 02 - MIMOŘÁDNÉ - SITUACE II	-	-	-	-	-	-	-	-	1	-

**Výčíslení součinitelů pro jednotlivé zatěžovací stavy a kombinace**

<i>zatěžovací stav / kombinace</i>		MSÚ - LM71	MSÚ - LM71 (ZATÍŽITELNOST)	MSP - CHARAKTERISTICKÁ	MSP - KVAZISTÁLÁ	MSÚ - POUZE LM71 (ZATÍŽITELNOST)	MSÚ - VSE KROMĚ LM71 (ZATÍŽITELNOST)	MSP - POUZE LM71 (ZATÍŽITELNOST)	MSP - VSE KROMĚ LM71 (ZATÍŽITELNOST)	MIMOŘÁDNÁ	SOILIN
		C01	C02	C03	C04	C05	C06	C07	C08	C09	C99
LC1	VLASTNÍ TÍHA	1,35	1,30	1,00	1,00	-	1,30	-	1,00	1,00	1,00
LC2	STÁLÉ	1,35	1,30	1,00	1,00	-	1,30	-	1,00	1,00	1,00
LC3	ZEMNÍ TLAKY	1,35	1,30	1,00	1,00	-	1,30	-	1,00	1,00	1,00
LC4	LM71 - 01 - SVISLÉ	3,45	2,85	1,99	0,00	2,85	-	1,65	-	-	-
LC5	LM71 - 01 - EXCENTRICITA	3,45	2,85	1,99	0,00	2,85	-	1,65	-	-	-
LC6	LM71 - 01 - VODOROVNÉ - ODSŘEDIVÉ SÍLY	1,75	1,45	1,21	0,00	1,45	-	1,00	-	-	-
LC7	LM71 - 01 - VÍTR	1,75	1,45	1,21	0,00	1,45	-	1,00	-	-	-
LC8	LM71 - 01 - ROZJEZDOVÁ SÍLA	1,75	1,45	1,21	0,00	1,45	-	1,00	-	-	-
LC9	LM71 - 01 - BOČNÍ RÁZ	1,75	1,45	1,21	0,00	1,45	-	1,00	-	-	-
LC10	LM71 - 02 - SVISLÉ	3,45	2,85	1,99	0,00	2,85	-	1,65	-	-	-
LC11	LM71 - 02 - EXCENTRICITA	3,45	2,85	1,99	0,00	2,85	-	1,65	-	-	-
LC12	LM71 - 02 - VODOROVNÉ - ODSŘEDIVÉ SÍLY	1,75	1,45	1,21	0,00	1,45	-	1,00	-	-	-
LC13	LM71 - 02 - VÍTR	1,75	1,45	1,21	0,00	1,45	-	1,00	-	-	-
LC14	LM71 - 02 - ROZJEZDOVÁ SÍLA	1,75	1,45	1,21	0,00	1,45	-	1,00	-	-	-
LC15	LM71 - 02 - BOČNÍ RÁZ	1,75	1,45	1,21	0,00	1,45	-	1,00	-	-	-
LC16	VÍTR	1,50	1,50	1,00	0,00	-	1,50	-	1,00	-	-
LC17	UŽITNÉ	1,50	1,50	1,00	1,00	-	1,50	-	1,00	-	-
LC18	TEPLOTA - ROVNOMĚRNÁ SLOŽKA - OTEPLENÍ	1,50	1,50	1,00	0,50	-	1,50	-	1,00	0,50	-
LC19	TEPLOTA - ROVNOMĚRNÁ SLOŽKA - OCHLAZENÍ	1,50	1,50	1,00	0,50	-	1,50	-	1,00	0,50	-
LC20	TEPLOTA - ROZDÍLOVÁ SLOŽKA - OTEPLENÍ	1,50	1,50	1,00	0,50	-	1,50	-	1,00	0,50	-
LC21	TEPLOTA - ROZDÍLOVÁ SLOŽKA - OCHLAZENÍ	1,50	1,50	1,00	0,50	-	1,50	-	1,00	0,50	-
LC22	LM71 - 01 - MIMOŘÁDNÉ - SITUACE I	-	-	-	-	-	-	-	-	1,00	-
LC23	LM71 - 01 - MIMOŘÁDNÉ - SITUACE II	-	-	-	-	-	-	-	-	1,00	-
LC24	LM71 - 02 - MIMOŘÁDNÉ - SITUACE I	-	-	-	-	-	-	-	-	1,00	-
LC25	LM71 - 02 - MIMOŘÁDNÉ - SITUACE II	-	-	-	-	-	-	-	-	1,00	-

Pozn.:

V kombinacích na MSÚ byl použit výraz 6.10. z ČSN EN 1990.

Při sestavování kombinací bylo přistoupeno k následujícím zjednodušení:

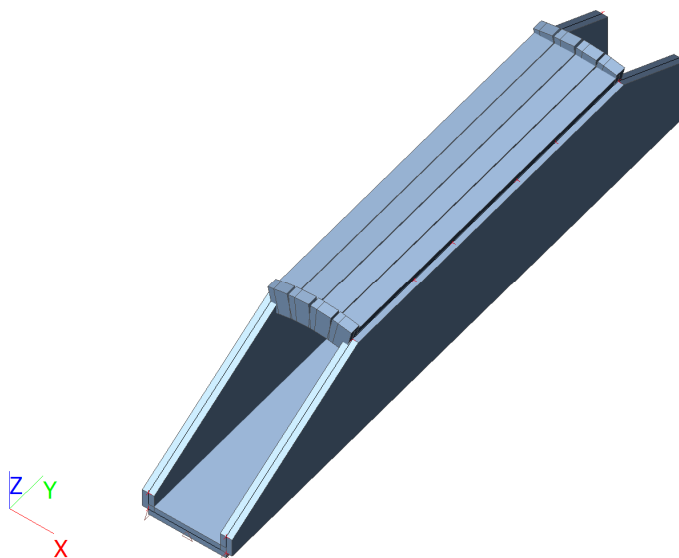
- Součinitele  $\psi$  byly uvažovány rovné 1,00 (výjimka je  $\psi_2$  ve kvazistálé kombinaci).
- Součinitele jednotlivých složek v sestavách zatížení železniční dopravou byly uvažovány rovné 1,00.
- Při kombinované rovnoměrné složky teploty s rozdílovou složkou teploty byly uvažovány součinitele  $\omega_N = \omega_N = 1,00$ .

\* Ve výpočtech byla uvažována pouze větší ze sil rozjezdová / brzdová síla.

**Skupiny výsledků**

č.sk.	název skupiny	zahrnuté kombinace	
		č.k.	název kombinace
RC1	ÚNOSNOST	C01	MSÚ - LM71
		C09	MIMOŘÁDNÁ

## Výpočtový model



## Vnitřní síly na integračních pásech (b=1,00m)

### Nosná konstrukce

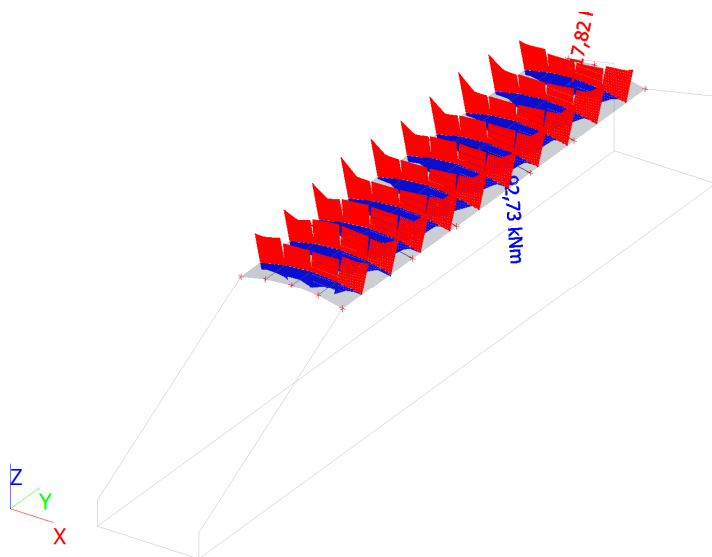
Lineární výpočet, Extrém : Globální, Systém : Hlavní, Žebro / integrační pás

Výběr : CM1..CM4, CM11..CM14, CM18..CM21, CM25..CM28, CM32..CM35, CM58..CM61, CM65..CM68, CM72..CM75, CM79..CM82, CM86..CM89

Třída : RC1

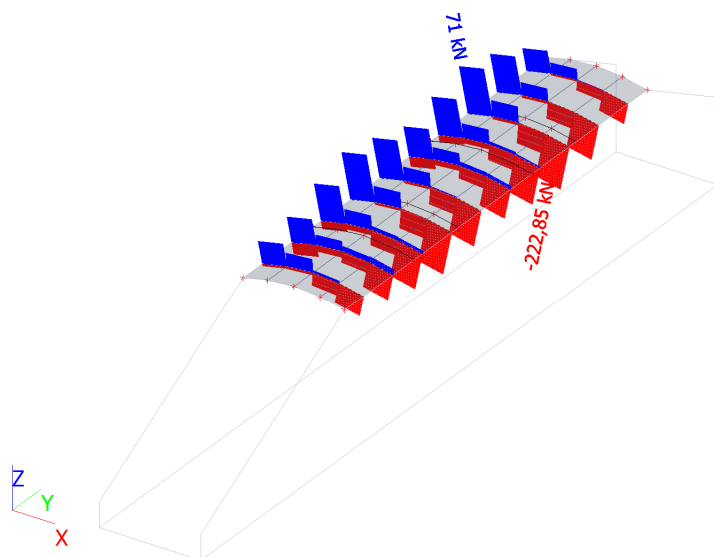
Dílec	dx [m]	Stav	N [kN]	Vy [kN]	My [kNm]
CM72	0,000	CO1/52	-258,29	96,61	-24,21
CM68	0,570	CO1/53	50,40	-29,24	19,98
CM35	0,000	CO1/31	-136,39	-281,13	-54,80
CM86	0,000	CO1/32	-140,62	283,13	-48,01
CM72	0,570	CO1/37	-229,91	88,59	-117,82
CM74	0,594	CO1/54	-104,62	-19,52	92,73

### RC1-ÚNOSNOST; $M_y$ [kNm]



Název akce	Optimalizace trati Karlštejn (mimo) - Beroun (mimo)	stránka	/	celkem
Vypracoval	Ing. Jakub Mattuš	48	/	67

## RC1-ÚNOSNOST; $V_z$ [kNm]



## Opěra

Lineární výpočet, Extrém : Globální, Systém : Hlavní, Žebro / integrační pás

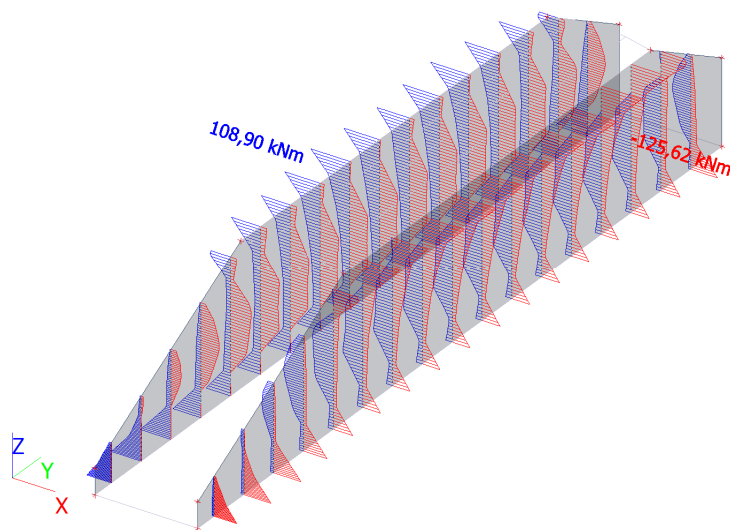
Výběr : CM5, CM6, CM9, CM10, CM16, CM17, CM23, CM24, CM30, CM31, CM37, CM38, CM44, CM45, CM47, CM48, CM50, CM51,

CM53, CM54, CM56, CM57, CM63, CM64, CM70, CM71, CM77, CM78, CM84, CM85, CM91, CM92, CM94, CM95

Třída : RC1

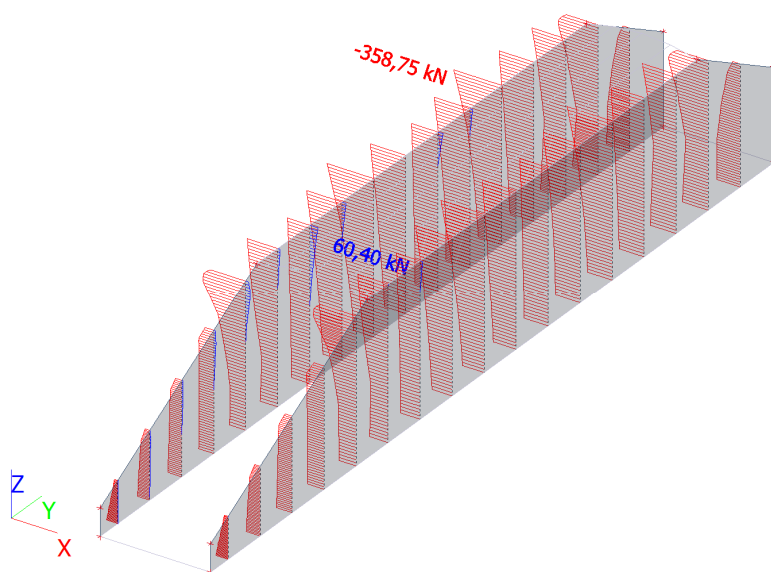
Dílec	dx [m]	Stav	N [kN]	Vy [kN]	My [kNm]
CM70	0,000	CO1/29	-358,75	77,02	97,64
CM24	0,000	CO1/30	60,40	35,83	-3,81
CM37	0,303	CO1/31	-194,48	-282,59	-43,24
CM85	0,000	CO1/32	-87,42	250,78	-105,55
CM71	0,000	CO1/37	-332,70	101,87	-125,62
CM10	0,000	CO1/4	-347,58	-13,80	108,90

## RC1-ÚNOSNOST; $M_y$ [kNm]

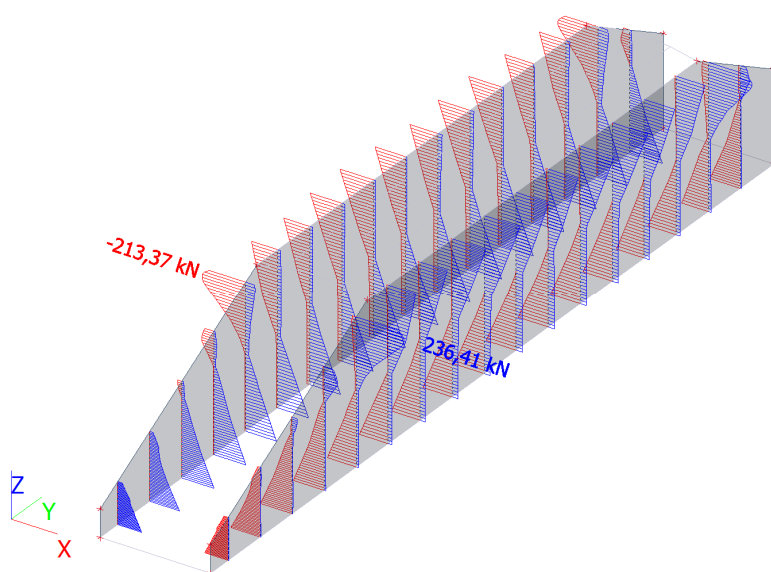


Název akce	Optimalizace trati Karlštejn (mimo) - Beroun (mimo)	stránka	/	celkem
Vypracoval	Ing. Jakub Mattuš	49	/	67

## RC1-ÚNOSNOST; N [kN]



## RC1-ÚNOSNOST; $V_z$ [kN]



## Základy

Lineární výpočet, Extrém : Globální, Systém : Hlavní, Žebro / integrační pás

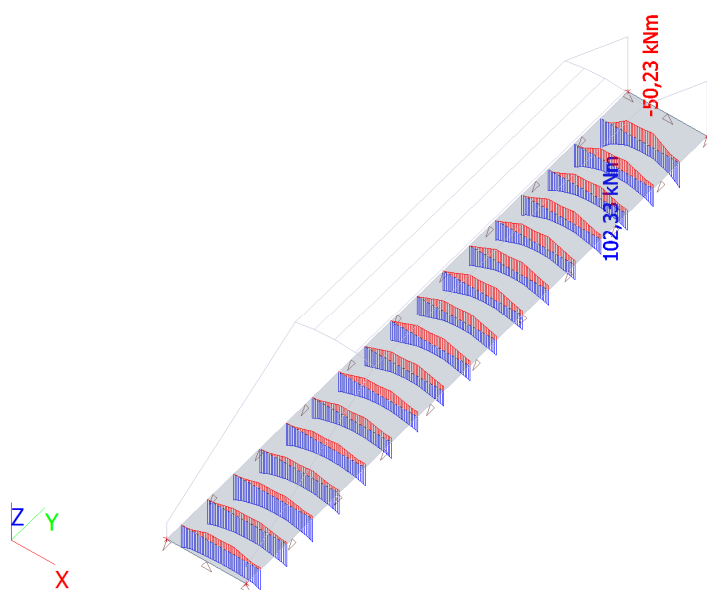
Výběr : CM7, CM8, CM15, CM22, CM29, CM36, CM43, CM46, CM49, CM52, CM55, CM62, CM69, CM76, CM83, CM90, CM93,

Třída : RC1

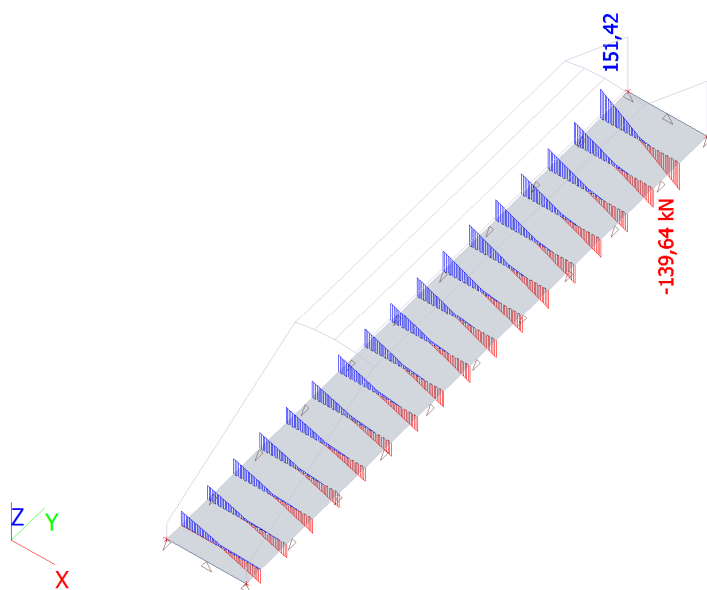
Dílec	dx [m]	Stav	N [kN]	Vy [kN]	My [kNm]
CM93	1,549	CO1/1	-180,00	45,51	17,94
CM8	0,000	CO1/2	35,85	15,92	-14,88
CM90	0,000	CO1/3	-137,83	-114,40	63,68
CM90	2,300	CO1/1	-150,95	124,34	82,00
CM93	0,798	CO1/8	-10,99	-22,25	-50,23
CM93	2,300	CO1/9	-174,14	100,95	102,33

Název akce	Optimalizace trati Karlštejn (mimo) - Beroun (mimo)	stránka	/	celkem
Vypracoval	Ing. Jakub Mattuš	50	/	67

RC1-ÚNOSNOST;  $M_y$  [kNm]

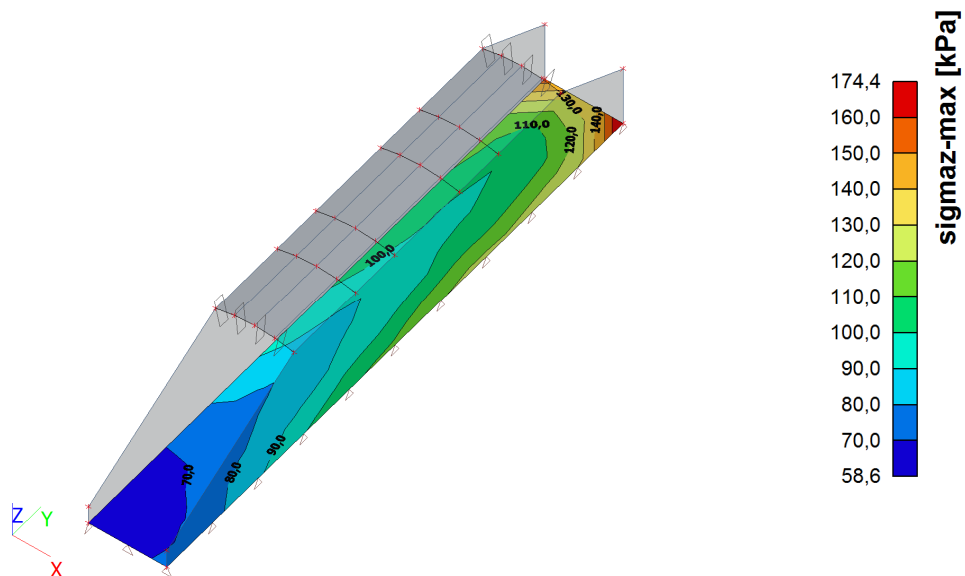


RC1-ÚNOSNOST;  $V_z$  [kN]



Název akce	Optimalizace trati Karlštejn (mimo) - Beroun (mimo)	stránka	/	celkem
Vypracoval	Ing. Jakub Matuší	51	/	67

# Kontaktní napětí; $\sigma_z$ ; RC1





Posudky

Název akce	Optimalizace trati Karlštejn (mimo) - Beroun (mimo)	stránka	/	celkem
Vypracoval	Ing. Jakub Mattuš	53	/	67



## ZD

č.	Název	N <sub>Ed</sub> [kN]	M <sub>Edy</sub> [kNm]	M <sub>Edz</sub> [kNm]	σ <sub>c</sub> [MPa]	σ <sub>s,max</sub> [MPa]	σ <sub>s,min</sub> [MPa]	Posouzení
15	CM90	-101,69	46,03	0,00	6,24	115,11	1,60	Vyhovuje
16	CM90	-110,70	58,63	0,00	8,04	156,14	0,23	Vyhovuje
17	CM93	-116,15	62,01	0,00	8,51	165,62	0,16	Vyhovuje
18	CM93	-126,71	72,96	0,00	10,06	199,93	-0,79	Vyhovuje
19	CM93	-13,33	25,55	0,00	3,64	86,09	-3,52	Vyhovuje
20	CM36	-96,99	33,45	0,00	4,40	72,19	3,25	Vyhovuje
21	CM93	-6,88	-33,33	0,00	4,78	117,83	-5,76	Vyhovuje
22	CM93	-127,53	73,07	0,00	10,07	199,91	-0,73	Vyhovuje
23	CM52	-80,08	50,99	0,00	7,07	144,06	-1,40	Vyhovuje
24	CM52	-22,06	-17,52	0,00	2,45	52,31	-1,04	Vyhovuje
Limitní hodnoty k <sub>3</sub> × f <sub>yk</sub>						400,00		

## Mezní stav omezení šířky trhlin

č.	Název	N <sub>Ed</sub> [kN]	M <sub>Edy</sub> [kNm]	M <sub>Edz</sub> [kNm]	Δε [-]	s <sub>r,max</sub> [m]	w [mm]	Posouzení
25	CM93	-121,90	26,77	0,00	112.10 <sup>-6</sup>	0,306	0,034	Vyhovuje
26	CM55	6,21	-11,17	0,00	132.10 <sup>-6</sup>	0,495	0,065	Vyhovuje
27	CM49	1,71	1,26	0,00	16,5.10 <sup>-6</sup>	0,495	0,008	Vyhovuje
28	CM49	1,71	1,26	0,00	16,5.10 <sup>-6</sup>	0,495	0,008	Vyhovuje
29	CM93	-114,31	54,44	0,00	417.10 <sup>-6</sup>	0,495	0,206	Vyhovuje
30	CM93	-114,31	54,44	0,00	417.10 <sup>-6</sup>	0,495	0,206	Vyhovuje
31	CM36	-103,71	41,19	0,00	290.10 <sup>-6</sup>	0,495	0,143	Vyhovuje
32	CM36	-103,71	41,19	0,00	290.10 <sup>-6</sup>	0,495	0,143	Vyhovuje
33	CM93	-2,81	-13,56	0,00	144.10 <sup>-6</sup>	0,495	0,071	Vyhovuje
34	CM46	-119,95	57,09	0,00	438.10 <sup>-6</sup>	0,495	0,216	Vyhovuje
35	CM52	-82,92	49,54	0,00	412.10 <sup>-6</sup>	0,495	0,204	Vyhovuje
36	CM52	-12,85	-9,62	0,00	85,0.10 <sup>-6</sup>	0,495	0,042	Vyhovuje
Maximální povolená šířka w <sub>r,max</sub>							0,300	

## Mezní stav použitelnosti VYHOVUJE

VYHOVUJE

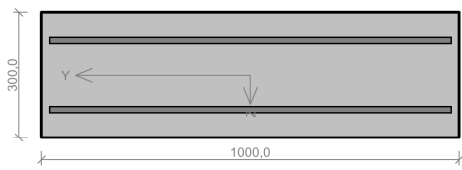
Název akce	Optimalizace trati Karlštejn (mimo) - Beroun (mimo)	stránka	/	celkem
Vypracoval	Ing. Jakub Matuš	54	/	67





OPĚRA								
č.	Název	$N_{Ed}$ [kN]	$M_{Edy}$ [kNm]	$M_{Edz}$ [kNm]	$\sigma_c$ [MPa]	$\sigma_{s,max}$ [MPa]	$\sigma_{s,min}$ [MPa]	Posouzení
16	CM85	-59,33	-74,90	0,00	10,62	241,78	-8,13	Vyhovuje
17	CM38	-41,35	39,55	0,00	5,57	122,45	-3,22	Vyhovuje
18	CM37	-72,84	-49,25	0,00	6,85	141,46	-1,81	Vyhovuje
19	CM38	-28,25	-42,42	0,00	6,03	139,73	-5,18	Vyhovuje
20	CM37	-51,35	41,39	0,00	5,80	123,97	-2,53	Vyhovuje
21	CM71	-208,71	-84,36	0,00	11,31	199,79	5,00	Vyhovuje
22	CM10	-219,10	72,73	0,00	9,51	152,95	7,77	Vyhovuje
23	CM5	-158,87	50,07	0,00	6,49	101,41	6,02	Vyhovuje
24	CM17	-94,99	23,00	0,00	2,82	36,28	4,45	Vyhovuje
Limitní hodnoty $k_3 \times f_{yk}$						400,00		
Mezní stav omezení šířky trhlin								
č.	Název	$N_{Ed}$ [kN]	$M_{Edy}$ [kNm]	$M_{Edz}$ [kNm]	$\Delta\epsilon$ [-]	$s_{r,max}$ [m]	$w$ [mm]	Posouzení
25	CM38	-69,40	21,00	0,00	$124 \cdot 10^{-6}$	0,495	0,061	Vyhovuje
26	CM53	-8,01	-3,03	0,00	$20,8 \cdot 10^{-6}$	0,495	0,010	Vyhovuje
27	CM38	-68,65	27,06	0,00	$190 \cdot 10^{-6}$	0,495	0,094	Vyhovuje
28	CM92	-58,12	-30,28	0,00	$240 \cdot 10^{-6}$	0,495	0,119	Vyhovuje
29	CM38	-59,67	32,54	0,00	$263 \cdot 10^{-6}$	0,495	0,130	Vyhovuje
30	CM37	-59,66	-32,54	0,00	$263 \cdot 10^{-6}$	0,495	0,130	Vyhovuje
31	CM38	-44,91	-40,97	0,00	$377 \cdot 10^{-6}$	0,495	0,187	Vyhovuje
32	CM37	-44,92	40,97	0,00	$377 \cdot 10^{-6}$	0,495	0,187	Vyhovuje
33	CM50	-39,82	-55,28	0,00	$542 \cdot 10^{-6}$	0,495	0,268	Vyhovuje
34	CM51	-39,84	55,27	0,00	$541 \cdot 10^{-6}$	0,495	0,268	Vyhovuje
35	CM54	-30,84	1,74	0,00	-	-	0,000	Vyhovuje
36	CM54	-18,08	13,59	0,00	$120 \cdot 10^{-6}$	0,495	0,059	Vyhovuje
Maximální povolená šířka $w_{max}$							0,300	
Mezní stav použitelnosti VYHOVUJE								
VYHOVUJE								

Název akce	Optimalizace trati Karlštejn (mimo) - Beroun (mimo)	stránka	/	celkem
Vypracoval	Ing. Jakub Matuš	56	/	67

NK	
	<p>Typ prvku: deska Prostředí: X0</p> <p><b>Beton: C 30/37</b>  <math>f_{ck} = 30,0 \text{ MPa}</math>; <math>f_{ctm} = 2,9 \text{ MPa}</math>; <math>E_{cm} = 33000 \text{ MPa}</math>  <b>Ocel podélná: B500B</b> (<math>f_{yk} = 500,0 \text{ MPa}</math>; <math>E_s = 200000 \text{ MPa}</math>)  <b>Ocel příčná: B500</b> (<math>f_{yk} = 500,0 \text{ MPa}</math>; <math>E_s = 200000 \text{ MPa}</math>)</p> <p><b>Vzpěr</b>  Vzpěr není uvažován  S tlačnou výztuží není počítáno.</p> <p><b>Spony svislé</b>  Profil: 8 mm; Vzdálenost: 150,0 mm; Střihy: 6,666</p>

Posouzení min. a max. stupně výztužení

Deska (tažená výztuž - minimum, celková výztuž - maximum):

$\rho_{s,t} = 0,0044 \geq \rho_{s,min} = 0,00151$   
 $\rho_{s,t,CSN} = 0,00342 \geq \rho_{s,min,CSN} = 0,0018 \Rightarrow$  **Vyhovuje**  
 $\rho_s = 0,00684 \leq \rho_{s,max} = 0,04 \Rightarrow$  **Vyhovuje**

Stupeň výztužení smykovou výztuží

$\rho_{w,min} = 0,000876 \leq \rho_w = 0,00223 \Rightarrow$  **Vyhovuje**  
Maximální vzdálenost třmínků  $s_{l,max} = 174,8 \text{ mm} \Rightarrow$  **Vyhovuje**  
Maximální vzdálenost větví třmínků  $s_{t,max} = 349,5 \text{ mm}$

Posouzení mezního stavu únosnosti

č.	Název	$N_{Ed}$ $N_{Rd}$ [kN]	$M_{Edy}$ $M_{Rdy}$ [kNm]	$M_{Edz}$ $M_{Rdz}$ [kNm]	$V_{Edz}$ $V_{Rdz}$ [kN]	$V_{Edy}$ $V_{Rdy}$ [kN]	Posouzení
1	CM72	-258,29	-24,21	0,00	-198,82	0,00	Vyhovuje
		-6000,00	-135,49	0,00	-356,49	0,00	
2	CM68	50,40	19,98	0,00	-5,38	0,00	Vyhovuje
		956,32	106,88	0,00	-207,79	0,00	
3	CM35	-136,39	-54,80	0,00	-68,27	0,00	Vyhovuje
		-6000,00	-124,25	0,00	-359,52	0,00	
4	CM86	-140,62	-48,01	0,00	-81,78	0,00	Vyhovuje
		-6000,00	-124,64	0,00	-359,41	0,00	
5	CM72	-136,09	36,47	0,00	-222,85	0,00	Vyhovuje
		-6000,00	124,22	0,00	-359,52	0,00	
6	CM75	-106,26	-45,26	0,00	218,71	0,00	Vyhovuje
		-6000,00	-121,47	0,00	360,34	0,00	
7	CM82	-89,15	33,65	0,00	159,87	0,00	Vyhovuje
		-6000,00	119,90	0,00	360,82	0,00	
8	CM79	-98,01	17,85	0,00	-162,17	0,00	Vyhovuje
		-6000,00	120,71	0,00	-360,57	0,00	
9	CM72	-229,91	-117,82	0,00	-199,03	0,00	Vyhovuje
		-6000,00	-132,87	0,00	-357,15	0,00	
10	CM74	-104,62	92,73	0,00	73,11	0,00	Vyhovuje
		-6000,00	121,32	0,00	360,38	0,00	
11	CM35	-145,24	-69,80	0,00	-34,68	0,00	Vyhovuje
		-6000,00	-125,07	0,00	-359,28	0,00	
12	CM86	-148,34	-63,50	0,00	-49,51	0,00	Vyhovuje
		-6000,00	-125,35	0,00	-359,20	0,00	

Mezní stav únosnosti **VYHOVUJE**

Posouzení mezního stavu použitelnosti

Mezní stav omezení napětí

č.	Název	$N_{Ed}$ [kN]	$M_{Edy}$ [kNm]	$M_{Edz}$ [kNm]	$\sigma_c$ [MPa]	$\sigma_{s,max}$ [MPa]	$\sigma_{s,min}$ [MPa]	Posouzení
13	CM14	-176,54	-21,65	0,00	2,88	14,58	8,25	Vyhovuje
14	CM68	32,80	14,56	0,00	2,97	82,03	-10,75	Vyhovuje

**VYHOVUJE**

[FIN EC - Beton | verze 11.2017.24.0 | hardwarový klíč 4050 / 6 | Metroprojekt Praha a.s. | Copyright © 2017 Fine spol. s r.o. All Rights Reserved | www.fine.cz]

Název akce	Optimalizace trati Karlštejn (mimo) - Beroun (mimo)	stránka	/	celkem
Vypracoval	Ing. Jakub Mattuš	57	/	67



NK								
č.	Název	N <sub>Ed</sub> [kN]	M <sub>Edy</sub> [kNm]	M <sub>Edz</sub> [kNm]	σ <sub>c</sub> [MPa]	σ <sub>s,max</sub> [MPa]	σ <sub>s,min</sub> [MPa]	Posouzení
15	CM35	-98,33	-40,67	0,00	7,56	127,29	-3,97	Vyhovuje
16	CM86	-101,13	-36,09	0,00	6,61	105,84	-1,87	Vyhovuje
17	CM72	-86,30	22,27	0,00	3,90	53,34	1,50	Vyhovuje
18	CM75	-65,60	-32,35	0,00	6,09	107,79	-4,69	Vyhovuje
19	CM82	-57,81	21,77	0,00	4,01	65,48	-1,51	Vyhovuje
20	CM18	-17,04	17,22	0,00	3,34	66,79	-4,78	Vyhovuje
21	CM72	-157,87	-79,43	0,00	14,98	266,32	-11,92	Vyhovuje
22	CM74	-65,55	58,57	0,00	11,32	223,13	-15,28	Vyhovuje
23	CM35	-103,46	-49,58	0,00	9,32	163,68	-6,83	Vyhovuje
24	CM86	-105,50	-45,30	0,00	8,44	143,86	-4,90	Vyhovuje
Limitní hodnoty k <sub>3</sub> × f <sub>yk</sub>						400,00		
Mezní stav omezení šířky trhlin								
č.	Název	N <sub>Ed</sub> [kN]	M <sub>Edy</sub> [kNm]	M <sub>Edz</sub> [kNm]	Δε [-]	s <sub>r,max</sub> [m]	w [mm]	Posouzení
25	CM33	-131,84	-28,42	0,00	173.10 <sup>-6</sup>	0,282	0,049	Vyhovuje
26	CM88	1,60	4,94	0,00	67,9.10 <sup>-6</sup>	0,455	0,031	Vyhovuje
27	CM35	-82,27	-35,80	0,00	343.10 <sup>-6</sup>	0,455	0,156	Vyhovuje
28	CM32	-82,27	-35,80	0,00	343.10 <sup>-6</sup>	0,455	0,156	Vyhovuje
29	CM65	-12,07	10,31	0,00	117.10 <sup>-6</sup>	0,455	0,053	Vyhovuje
30	CM68	-10,45	-6,98	0,00	75,6.10 <sup>-6</sup>	0,455	0,034	Vyhovuje
31	CM35	-67,69	-41,47	0,00	440.10 <sup>-6</sup>	0,455	0,200	Vyhovuje
32	CM32	-67,69	-41,47	0,00	440.10 <sup>-6</sup>	0,455	0,200	Vyhovuje
33	CM59	-5,48	17,48	0,00	222.10 <sup>-6</sup>	0,455	0,101	Vyhovuje
34	CM33	-131,58	-28,42	0,00	173.10 <sup>-6</sup>	0,282	0,049	Vyhovuje
35	CM88	-126,47	-27,49	0,00	169.10 <sup>-6</sup>	0,283	0,048	Vyhovuje
Maximální povolená šířka w <sub>max</sub>							0,300	
Mezní stav použitelnosti VYHOVUJE								
VYHOVUJE								

Název akce	Optimalizace trati Karlštejn (mimo) - Beroun (mimo)	stránka	/	celkem
Vypracoval	Ing. Jakub Matuš	58	/	67

</

Název akce	Optimalizace trati Karlštejn (mimo) - Beroun (mimo)	stránka	/	celkem
Vypracoval	Ing. Jakub Mattuš	59	/	67



## ŘÍMSA

č.	Název	$N_{Ed}$ [kN]	$M_{Edy}$ [kNm]	$M_{Edz}$ [kNm]	$\sigma_c$ [MPa]	$\sigma_{s,max}$ [MPa]	$\sigma_{s,min}$ [MPa]	Posouzení
17	B1	35,11	8,24	0,00	-	49,68	-8,53	Vyhovuje
18	B1	-97,41	-27,59	0,00	1,45	6,23	7,42	Vyhovuje
19	B6	-156,73	-100,63	0,00	7,07	119,45	27,80	Vyhovuje
20	B2	133,86	60,83	0,00	3,27	259,50	-6,12	Vyhovuje
21	B4	-149,18	-62,09	0,00	3,89	40,32	17,64	Vyhovuje
Limitní hodnoty $k_3 \times f_{yk}$						400,00		

## Mezní stav omezení šířky trhlin

č.	Název	$N_{Ed}$ [kN]	$M_{Edy}$ [kNm]	$M_{Edz}$ [kNm]	$\Delta\epsilon$ [-]	$s_{r,max}$ [m]	$w$ [mm]	Posouzení
22	B5	-201,82	-59,60	0,00	$46,5 \cdot 10^{-6}$	0,297	0,014	Vyhovuje
23	B6	61,95	30,01	0,00	$373 \cdot 10^{-6}$	0,351	0,131	Vyhovuje
24	B8	-170,40	-56,40	0,00	$62,7 \cdot 10^{-6}$	0,323	0,020	Vyhovuje
25	B5	-170,40	-56,40	0,00	$62,7 \cdot 10^{-6}$	0,323	0,020	Vyhovuje
26	B8	9,48	0,10	0,00	$24,3 \cdot 10^{-6}$	0,572	0,014	Vyhovuje
27	B5	9,47	0,10	0,00	$24,3 \cdot 10^{-6}$	0,572	0,014	Vyhovuje
28	B6	-132,15	-90,32	0,00	$340 \cdot 10^{-6}$	0,351	0,119	Vyhovuje
29	B2	59,20	31,09	0,00	$374 \cdot 10^{-6}$	0,351	0,131	Vyhovuje
30	B1	-161,43	-52,86	0,00	$56,9 \cdot 10^{-6}$	0,321	0,018	Vyhovuje

Maximální povolená šířka  $w_{r,max}$ 

Mezní stav použitelnosti VYHOVUJE

VYHOVUJE

Název akce	Optimalizace trati Karlštejn (mimo) - Beroun (mimo)	stránka	/	celkem
Vypracoval	Ing. Jakub Matuší	60	/	67



## Zatížitelnost

### Zatížitelnost železničního mostu

dle SŽDC, Metodický pokyn pro určování zatížitelnosti železničních mostních objektů (09/2015)

#### Kategorie C - zatížitelnost určená přepočtem

##### Obecně

Zatížitelnost nových mostních objektů se vyjadřuje v hladině účinků svislého proměnného zatížení železniční dopravou, reprezentovaného modelem zatížení 71 se součinitelem  $\alpha = 1,00$  pro úroveň spolehlivosti danou ČSN EN 1990.

Přepočet se provádí podle platných norem a předpisů pro zatížení a navrhování stavebních konstrukcí a mostních objektů doplněných o ustanovení tohoto metodického pokynu. Normy a směrnice platné v době návrhu mostního objektu se považují za informativní podklad.

Globální analýza mostního objektu se má provádět přednostně pružnostními metodami s využitím vhodného výpočtového modelu.

Požaduje se vystižení prostorového působení mostního objektu. Doporučuje se proto používat prostorové výpočtové modely umožňující komplexní globální analýzu mostního objektu zohledňující jeho prostorové působení. Nevylučuje se možnost provedení globální analýzy mostního objektu pomocí nelineárních analýz zejména v souvislosti s přesnějšími výpočty betonových, zděných, spřažených ocelobetonových mostních objektů apod., kde může být aplikace nelineárních výpočtů výstižnější i žádoucí.

Při globální analýze stávajícího mostního objektu se vždy přihlíží ke skutečnému stavu jeho jednotlivých prvků a částí. Případné poruchy včetně příslušných imperfekcí nosných prvků a částí mostního objektu je třeba vhodným způsobem zahrnout dovoletého výpočtového modelu tak, aby se vliv poruch promítl do výsledné odezvy na zatížení a zohlednila se redistribuce vnitřních sil vyvolaná poruchami.

Při volbě výpočtových modelů se má přiměřeně uvážit i možné spolupůsobení nenosných částí mostního objektu s jeho nosnou konstrukcí (například spolupůsobení říms).

Vliv poruch jednotlivých prvků stávajícího mostního objektu je třeba vhodným způsobem zohlednit i při stanovení únosnosti průřezů, prvků a dílčích částí mostního objektu.

##### Zatížení

##### Dílčí součinitele účinků stálého zatížení $\gamma_G$

Prvky nebo části mladší než 30 let		Prvky nebo části starší než 30 let			
Ocelové a prefabrik. betonové prvky	Prvky z ostatních materiálů	Ocelové a prefabrikované betonové prvky		Prvky z ostatních materiálů	
		Kontrola měřením rozměrů	Bez kontroly	Kontrola měřením rozměrů	Bez kontroly
1,25	1,30	1,20	1,25	1,25	1,30

##### Dílčí součinitel účinků zatížení větrem $\gamma_{Q,w}$

Pro nosné prvky mostních objektů mladší než 30 let	$\gamma_{Q,w} =$	1,50
Pro nosné prvky stávajících mostních objektů starší než 30 let:	$\gamma_{Q,w} =$	1,35

##### Dynamický součinitel

Viz část statického výpočtu, která řeší zatížení od kolejové dopravy dle ČSN EN 1991-2.

##### Zatížení kolejovou dopravou - model zatížení 71

Viz část statického výpočtu, která řeší zatížení od kolejové dopravy dle ČSN EN 1991-2.

##### Dílčí součinitel zatížení $\gamma_{Q,LM71}$

Pro nosné prvky mostních objektů mladší než 30 let	$\gamma_{Q,LM71} =$	1,45
Pro nosné prvky stávajících mostních objektů starší než 30 let:	$\gamma_{Q,LM71} =$	1,30

**Výpočet zatížitelnosti prvků**
**Mezní stav únosnosti**

$$Z_{LM71} = \left( R_d - \sum_{i=1}^{n-1} E_{rs.Ed.i} \right) / E_{LM71.Ed}$$

$R_d$  Návrhová hodnota únosnosti průřezu nebo prvku mostního objektu.

$E_{LM71.Ed}$  Návrhová hodnota účinků svislého proměnného zatížení železniční dopravou, reprezentovaného modelem zatížení 71 včetně dynamických vlivů.

$\sum_{i=1}^{n-1} E_{rs.Ed.i}$  Návrhové, kombinační nebo skupinové hodnoty účinků ostatních zatížení, které působí současně se svislým proměnným zatížením železniční dopravou.

**Mezní stavy použitelnosti**

Zatížitelnost ZLM71 z hlediska kritérií nepřipustných přetvoření

$$Z_{LM71} = \left( \delta_{lim} - \sum_{i=1}^{n-1} \delta_{rs.i} \right) / \delta_{LM71}$$

$\delta_{lim}$  Mezní hodnota přetvoření podle kritéria příslušného mezního stavu použitelnosti.

$\delta_{LM71}$  Hodnota přetvoření vyvolaná svislým proměnným zatížením železniční dopravou, reprezentovaným modelem zatížení 71 (podle povahy kritéria i vč. dynamických vlivů),

$\sum_{i=1}^{n-1} \delta_{rs.i}$  Hodnoty přetvoření od ostatních relevantních zatížení, které působí současně se svislým proměnným zatížením železniční dopravou v případě, že nebyly eliminovány vnějším zásahem (například nadvýšením nosné konstrukce).

**Výpočet zatížitelnosti prvků**

<i>prvek</i>	<i>poznámka</i>		<i>posuzovaný stav</i>	<i>jednotka</i>	$R_d$ $\delta_{lim}$ (mezní hodnota únosnosti/ použit.)	$E_{LM71.Ed}$ $\delta_{LM71}$ (LM-71)	$E_{rs.Ed}$ $\delta_{rs.i}$ (pro veškeré zatížení kromě LM- 71)	$Z_{LM71}$
NK	pole	ohybová únosnost*	MSÚ	kNm	107	59	22	<b>1,46</b>
NK	podpora	ohybová únosnost *	MSÚ	kNm	-131	-52	-57	<b>1,43</b>
NK	podpora	smyková únosnost	MSÚ	kN	357	150	43	<b>2,09</b>
OPĚRA		ohybová únosnost *	MSÚ	kNm	144	55	60	<b>1,54</b>
OPĚRA		smyková únosnost	MSÚ	kNm	256	35	131	<b>3,62</b>
ZD	pole	ohybová únosnost *	MSÚ	kNm	-131	-26	-19	<b>4,29</b>
ZD	podpora	ohybová únosnost *	MSÚ	kNm	154	25	74	<b>3,19</b>
ZD	podpora	smyková únosnost	MSÚ	kN	249	65	72	<b>2,72</b>
ZD		kontaktní napětí	MSÚ	kPa	250	87	69	<b>2,07</b>
MIN $Z_{LM71}$								<b>1,43</b>
*Ohybová únosnost je určena z odpovídajícího interakčního diagramu průřezu (N, My) pro nanejvýš příznivou kombinaci ohybového momentu a normálové síly v kombinaci zatížení kde na konstrukci působí veškeré zatížení včetně zatížení kolejovou dopravou.								



## Přehled zatížitelnosti částí mostu

### A. Identifikace mostu

SO 12-38-17 - Propustek v km 33,835

TÚ (číslo, název): TÚ 0202 Praha - Plzeň

DÚ: 12

km 33,835

### B. Identifikace části mostu

část mostu: NK / OPĚRA / ZD

poř. číslo (ve směru staničení):

pod koleji č. 1, 2

### C. Doplnující data pro část mostu

Kategorie zatížitelnosti:

C

Výpočetní model:

prostorový - desk-stěnový

Geometrie koleje, uvažovaná v přepočtu pro část mostu v jejím profilu (ve směru staničení)

	na začátku	uprostřed	na konci
poloměr oblouku	- [m]	- [m]	- [m]
převýšení koleje	- [mm]	- [mm]	- [mm]
excentricita vůči ose mostu	- [mm]	- [mm]	- [mm]

Popis závad uvažovaných v přepočtu:

Datum zjištění technického stavu mostu:

SŽDC, s.o.:

/ /

zpracovatelem přepočtu:

/ /

Poznámka k části mostu:

Přepočet je proveden pro novou nosnou konstrukci.

Poř. č.	Prvek	Detail	Namáhání	$k_i$	typ	$L_p$	$\phi_i$	$L_\phi$	$\gamma_{Q-LM71}$	$\gamma_{Q-LM71,E}$	Viz č. str. přepoč.	$Z_{LM71}$	$Z_{LM71,E}$	Pozn.
1	2	3	4	5	6	7	8	9	10	11	12	13	14	15
1	NOSNÁ KCE.	deska	ohybové	1,0	M	2,30	1,97	3,78	1,45			1,43		
2	NOSNÁ KCE.	deska	smykové	1,0	Q	2,30	1,97	3,78	1,45			2,09		
3	OPĚRA	stěna	ohybové	1,0	M	2,30	1,97	3,78	1,45			1,54		
4	OPĚRA	stěna	smykové	1,0	Q	2,30	1,97	3,78	1,45			3,62		
5	ZD	deska	ohybové	1,0	M	2,30	1,97	3,78	1,45			3,19		
6	ZD	deska	smykové	1,0	Q	2,30	1,97	3,78	1,45			2,72		
7	ZD	kontaktní napětí		1,0	S	2,30	1,97	3,78	1,45			2,07		

Dne: 04/10/2017

Zatížitelnost určil:

Ing. Jakub Matušík

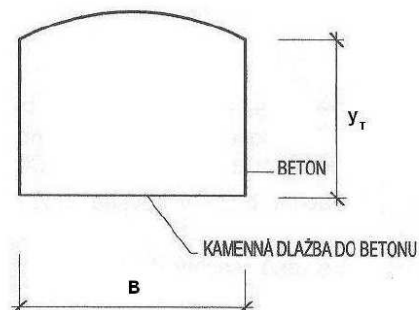
Název akce	Optimalizace trati Karlštejn (mimo) - Beroun (mimo)	stránka	/	celkem
Vypracoval	Ing. Jakub Matušík	63	/	67

## L. HYDROTECHNICKÉ POSOUZENÍ

### SO 12-38-17 propustek ev.km 33,835

Označení uzavíracího profilu : 12

Obdélníkový propustek:



#### VSTUPNÍ ÚDAJE

Celková šířka propustku:	$B = 1,95 \text{ m}$
Celková výška propustku:	$y_T = 2,24 \text{ m}$
Délka propustku:	$L = 10,60 \text{ m}$
Spád dna propustku:	$i = 2,0\%$
Drsnost (dle Manninga):	$n = 0,025$ - kamenná dlažba $n = 0,014$ - betonové stěny propustku
Koeficient tvaru vtoku:	$\varphi = 0,85$
Návrhový průtok NP:	$Q_{100} = 1,8 \text{ m}^3/\text{s}$
Kontrolní návrhový průtok KNP:	$1,5 \times Q_{100} = 2,7 \text{ m}^3/\text{s}$

#### VÝSLEDKY

Návrhový průtok NP:	$Q_{100} = 1,8 \text{ m}^3/\text{s}$
Hloubka rovnoměrného proudění:	$y_0 = 0,35 \text{ m}$
Kritické hloubka:	$y_K = 0,44 \text{ m}$
Hloubka zúženého průřezu za vtokem:	$y_x = 0,40 \text{ m}$
Hloubka před propustkem:	$Y = 0,78 \text{ m}$
Maximální rychlost vody v propustku:	$v_x = 2,61 \text{ m/s}$
Spád rovnoměrného průtoku (plným profilem):	$i_T = 0,01 \%$

Návrhový průtok NP =  $Q_{100}$  je s volnou hladinou, vtok nezahlcený, hloubka vzduté vody před propustkem je 0,78 m.

Kontrolní návrhový průtok KNP:	$1,5 \times Q_{100} = 2,7 \text{ m}^3/\text{s}$
Hloubka rovnoměrného proudění:	$y_0 = 0,46 \text{ m}$
Kritické hloubka:	$y_K = 0,58 \text{ m}$
Hloubka zúženého průřezu za vtokem:	$y_x = 0,52 \text{ m}$
Hloubka před propustkem:	$Y = 1,02 \text{ m}$
Maximální rychlost vody v propustku:	$v_x = 3,02 \text{ m/s}$
Spád rovnoměrného průtoku (plným profilem):	$i_T = 0,02 \%$

Kontrolní návrhový průtok KNP =  $1,5 \times Q_{100}$  je s volnou hladinou, vtok nezahlcený, hloubka vzduté vody před propustkem je 1,02 m.

V Praze 28.2.2012

Vypracoval: Ing. T. Knotek



Název akce	Optimalizace trati Karlštejn (mimo) - Beroun (mimo)	stránka	/	celkem
Vypracoval	Ing. Jakub Matuší	64	/	67

**SO 12-38-17 Propustek v km 33,835**

- šířka koryta ve dně
- sklon dna
- koef. drsnosti dna
- koef. drsnosti stěn
- hloubka koryta

**b = 1,95 m**  
**i = 2,000 ‰**  
**n<sub>spodek</sub> = 0,025** -  
**n<sub>stěn</sub> = 0,014** -  
**y = 2,240 m**

**NP:**  
**Q<sub>N</sub> = 1,8 m<sup>3</sup>/s**  
**Q<sub>N</sub><sup>2/3</sup> / g = 0,3303**

Y	B	F	O	R	n	C	v	Q	F <sup>3</sup> /B
0,000	1,9500	0,000	1,950	0,0000	0,025	0,000	0,000	0,0000	-
0,224	1,9500	0,437	2,398	0,1822	0,023	32,813	1,981	0,8651	0,0427
0,448	1,9500	0,874	2,846	0,3070	0,022	38,136	2,988	2,6103	0,3419
0,672	1,9500	1,310	3,294	0,3978	0,021	41,810	3,729	4,8869	1,1539
0,896	1,9500	1,747	3,742	0,4669	0,020	44,637	4,314	7,5366	2,7352
1,120	1,9500	2,184	4,190	0,5212	0,019	46,921	4,791	10,4629	5,3422
1,344	1,9500	2,621	4,638	0,5651	0,019	48,819	5,190	13,6017	9,2314
1,568	1,9500	3,058	5,086	0,6012	0,018	50,429	5,530	16,9074	14,6591
1,792	1,9500	3,494	5,534	0,6314	0,018	51,814	5,823	20,3472	21,8818
2,016	1,9500	3,931	5,982	0,6572	0,018	53,022	6,079	23,8963	31,1559
2,240	1,9500	4,368	6,430	0,6793	0,017	54,084	6,304	27,5358	42,7379

Hloubka při rovnoměrném pohybu - y<sub>0</sub> :

y <sub>0</sub>	B <sub>0</sub>	F <sub>0</sub>	O <sub>0</sub>	R <sub>0</sub>	n <sub>0</sub>	C <sub>0</sub>	v <sub>0</sub>
0,354	1,950	0,690	2,658	0,2597	0,022	36,192	2,608

Kritické hloubka - y<sub>k</sub> :

y<sub>k</sub> = 0,443 m

Parametry kritické hloubky - y<sub>k</sub> :

y <sub>k</sub>	B <sub>k</sub>	F <sub>k</sub>	O <sub>k</sub>	R <sub>k</sub>	n <sub>k</sub>	C <sub>k</sub>	v <sub>k</sub>	i <sub>k</sub>
0,443	1,950	0,864	2,836	0,3046	0,022	38,040	2,084	0,010

Hloubka zúženého průřezu za vtokem - y<sub>x</sub> = 0,9 y<sub>k</sub>

y<sub>x</sub> = 0,399 m

Parametry zúženého průřezu za vtokem :

y <sub>x</sub>	B <sub>x</sub>	F <sub>x</sub>	O <sub>x</sub>	R <sub>x</sub>	n <sub>x</sub>	C <sub>x</sub>	v <sub>x</sub>
0,399	1,950	0,777	2,747	0,2830	0,022	37,155	2,315

φ = 0,85 - parametr zúžení na vtoku

Energetická výška ve vtoku - E<sub>x</sub> :

E<sub>x</sub> = 0,777 m < 1,2 y<sub>T</sub> = 2,688 m

Vtok volný, nezahlcený.

Podélný sklon, při němž by dané Q<sub>N</sub> protékalo rovnoměrně hloubkou y<sub>T</sub> :

i<sub>T</sub> = 0,0001 < i = 0,0200

**SO 12-38-17 Propustek v km 33,835**

- šířka koryta ve dně
- sklon dna
- koef. drsnosti dna
- koef. drsnosti stěn
- hloubka koryta

**b = 1,95 m**  
**i = 2,000 ‰**  
**n<sub>spodek</sub> = 0,025**  
**n<sub>stěn</sub> = 0,014**  
**y = 2,240 m**

**KNP:**  $1,5 \cdot Q_N = 2,7 \text{ m}^3/\text{s}$   
 $Q_N^2 / g = 0,7431$

Y	B	F	O	R	n	C	v	Q	F <sup>3</sup> /B
0,000	1,9500	0,000	1,950	0,0000	0,025	0,000	0,000	0,0000	-
0,224	1,9500	0,437	2,398	0,1822	0,023	32,813	1,981	0,8651	0,0427
0,448	1,9500	0,874	2,846	0,3070	0,022	38,136	2,988	2,6103	0,3419
0,672	1,9500	1,310	3,294	0,3978	0,021	41,810	3,729	4,8869	1,1539
0,896	1,9500	1,747	3,742	0,4669	0,020	44,637	4,314	7,5366	2,7352
1,120	1,9500	2,184	4,190	0,5212	0,019	46,921	4,791	10,4629	5,3422
1,344	1,9500	2,621	4,638	0,5651	0,019	48,819	5,190	13,6017	9,2314
1,568	1,9500	3,058	5,086	0,6012	0,018	50,429	5,530	16,9074	14,6591
1,792	1,9500	3,494	5,534	0,6314	0,018	51,814	5,823	20,3472	21,8818
2,016	1,9500	3,931	5,982	0,6572	0,018	53,022	6,079	23,8963	31,1559
2,240	1,9500	4,368	6,430	0,6793	0,017	54,084	6,304	27,5358	42,7379

Hloubka při rovnoměrném pohybu - y<sub>0</sub> :

y <sub>0</sub>	B <sub>0</sub>	F <sub>0</sub>	O <sub>0</sub>	R <sub>0</sub>	n <sub>0</sub>	C <sub>0</sub>	v <sub>0</sub>
0,458	1,950	0,893	2,866	0,3116	0,021	38,325	3,023

Kritické hloubka - y<sub>k</sub> :

y<sub>k</sub> = 0,580 m

Parametry kritické hloubky - y<sub>k</sub> :

y <sub>k</sub>	B <sub>k</sub>	F <sub>k</sub>	O <sub>k</sub>	R <sub>k</sub>	n <sub>k</sub>	C <sub>k</sub>	v <sub>k</sub>	i <sub>k</sub>
0,580	1,950	1,131	3,110	0,3637	0,021	40,429	2,387	0,010

Hloubka zúženého průřezu za vtokem - y<sub>x</sub> = 0,9 y<sub>k</sub>

y<sub>x</sub> = 0,522 m

Parametry zúženého průřezu za vtokem :

y <sub>x</sub>	B <sub>x</sub>	F <sub>x</sub>	O <sub>x</sub>	R <sub>x</sub>	n <sub>x</sub>	C <sub>x</sub>	v <sub>x</sub>
0,522	1,950	1,018	2,994	0,3400	0,021	39,473	2,653

φ = 0,85 - parametr zúžení na vtoku

Energetická výška ve vtoku - E<sub>x</sub> :

E<sub>x</sub> = 1,018 m < 1,2 y<sub>r</sub> = 2,688 m

Vtok volný, nezahlcený.

Podélný sklon, při němž by dané Q<sub>N</sub> protékalo rovnoměrně hloubkou y<sub>r</sub> :

i<sub>r</sub> = 0,0002 < i = 0,0200





## M. VÝKAZ VÝMĚR

„Optimalizace trati Karlštejn (mimo) - Beroun (mimo)“				
Stavební objekt: SO 13-38-11 Propustek v ev. km 33,835				
č. pol.	popis	jedn.	poč. m. j.	výpočet m. j.
1	Odstanění křovin apod.	m2		Součástí SO spodku
2	Odstanění stromů i s pařezy do průměru 50cm	ks		Součástí SO spodku
3	Výkopy vč. pažení	m3	368,50	2x 12,5m2*14,5 +6
3a	Výkopy vč. pažení - použití pro zpětné zásypy (50% ze zásepů nebo 50 % z v	m3	98,50	Nevpisovat poč. m. j - položka se počítá sama
3b	Výkopy vč. pažení - odvoz na skládku	m3	270,00	Nevpisovat poč. m. j - položka se počítá sama
4	Stětové stěny, záporové stěny, mikropilotové pažení nekotvené	m2		
5	Stětové stěny, záporové stěny, mikropilotové pažení kotvené	m2	80,00	2x 4*10
6	Ochranná opatření (pražcové hrázky s táhly, pažení apod.)	m2	16,00	2x 4*2
7	Přečerpávání vody (pohotovostní čerpání vody z jámy je součástí výkopů)	hod		
8	Zatrubnění potoka - při stavbě vč. hrázky atd.	m		
9	Přeložky sítí - konstrukce pro převedení + úpravy	m		
10	Bourání konstrukcí z kamenného zdiva a prostého betonu	m3	116,00	3,3m2*4,5 + 5,8m2*6 + 5,8*3,3 + 22m2*1 + 25m2*1
11	Bourání konstrukcí z železobetonu	m3		
12	Odstanění kovového zábradlí	m		
13	Demontáž ocelové konstrukce	t		
14	Lešení těžké - podpěrné konstrukce	m3op		
15	Pížmo	t		
16	Kolejové jeřáby včetně pronájmu a přistavení	den		
17	Kolový jeřáb včetně pronájmu a přistavení	t		
18	Železniční provizoria vč. dopravy, montáže, demontáže, pronájmu a kolej. úpra	t		
19	Uložný blok pod provizoria a pížmo C 20/25 vč. odstranění	m3		
20	Injektáž trysek vč. vrtů atd. (kompletní dodávka)	m3op		
21	Injektáž výplňová vč. vrtů atd. (kompletní dodávka)	m3op		
22	Injektáž zdiva chem. vč. vrtů (kompletní dodávka)	m3op		
23	Hloubkové spárování včetně čistění zdiva	m2		
24	Reprofilace omítky	m2		
25	Sanační omítky vč. kotvené sítě	m2		
26	Nové kamenné zdivo	m3		
27	Obklad zdi kamenem	m2		
28	Sjednocující nátěr na betonu atd.	m2		
29	Lepené kotvy (délka vrtů + lepidlo)	m		
30	Výztuž v kládaná do spar, do vrtů	m		
31	Mikropiloty 100mm	m		
32	Mikropiloty 150mm	m		
33	Mikropiloty 200mm	m		
34	Piloty žel. bet. DN 800mm (vč. vrtu, vystrojení, ŽB, ubourání, zkoušek integ	m		
35	Piloty žel. bet. DN 1000mm (vč. vrtu, vystrojení, ŽB, ubourání, zkoušek integ	m		
36	Piloty žel. bet. DN 1300mm (vč. vrtu, vystrojení, ŽB., ubourání, zkoušek inte	m		
37	Beton prostý C 12/15, C 16/20, C 20/25, C 25/30, C30/37 (vč. kari sítě)	m3	72,00	24,1m2*2 + 2x 0,7*16,5
38	Beton železový C 25/30 (max. průsak 20mm) vč. výztuže, bed., úprav spar at	m3		
39	Beton železový C 30/37 (max. průsak 20mm) vč. výztuže, bed., úprav spar at	m3	62,85	3,9m2*15,5 + 2x 0,3m2*4
40	Předpínací výztuž vč. kotev a spojek	t		
41	Ocelová konstrukce vč. montáže a nátěrů	t		
42	Příplatek za montáž pomocí vysouvání mostní konstrukce	t		
43	Protikorozi povlak + nátěr ocelové konstrukce vč. odrezvání a otryskáním	m2		
44	Ocelové zabetonované nosníky vč. montáže a nátěrů	t		
45	Trubní propustek DN 800 vč. dodávky osazení (ŽB trouby patkové)	m		
46	Trubní propustek DN 1000 vč. dodávky osazení (ŽB trouby patkové)	m		
47	Trubní propustek DN 1200 vč. dodávky osazení (ŽB trouby patkové)	m		
48	Železobetonové přefa konstrukce vč. osazení	m3		
49	Zábradlí vč. PKO - železniční mosty	m	8,00	2x 4m
50	Zábradlí vč. PKO - silniční mosty	m		
51	Zámečnické kce, pozink včetně nátěrů a osazení	kg	4,00	2x letopočet a 2kg
52	Mostní ložiska (elastomerová, hrcnová) pro zatížení do 2,5MN	ks		
53	Mostní ložiska (elastomerová, hrcnová) pro zatížení do 5,0MN	ks		
54	Mostní ložiska (elastomerová, hrcnová) pro zatížení nad 5,0MN	ks		
55	Mostní ložiska - repase	ks		
56	Dilatační spáry	m		
57	Dilatačních závěry	m		
58	Izolace proti vodě - nátěry - proti stékající vodě a zemní vlhkosti (kompl. dodá	m2	36,00	4x 9m2
59	Izolace povlakové vč. ochrany - proti stékající vodě a zemní vlhkosti (kompl.	m2	295,00	12,7*14,5 + 2x 1,8*16,5 + 3*16,5
60	Izolace povlakové vč. ochrany - proti tlakové vodě (kompl. dodávka)	m2		
61	Izolace stříkané - 3xEP a 1xPU	m2		
62	Antivibrační rohož	m2		
63	Separáční geotextilie - dodávka a uložení	m2	342,00	2x 15,8*10,8
64	Rubová drenáž	m	33,00	2x 16,5
65	Rubová kamenná rovnánina	m3	24,00	2x 1,1m2*10,8
66	Zásyp zeminou - zřízení a hutnění (z tříděného a dovezeného materiálu)	m3	197,00	2x 6,8m2*14,5
67	Dodávka hutněné nenamrzavé šterkdrti	m3	98,50	Nevpisovat poč. m. j - položka se počítá sama
68	Konstrukce pro vyústění drenáže na terén	ks	4,00	
69	Vsakovací jímka včetně skruže a vyplnění šterkem	m		
70	Odvodňovací vč. svodu	ks		
71	Vrty do kam. a bet. zdiva průměru do 200mm	m		
72	Pročistění koryta	m2		
73	Kamenná dlažba v odotoče a svahu do bet. lože	m2	83,21	18*2 + 2x 2,8*1 + 2x 6*1 + 6,3*4,7
74	Dlažba v odotoče kamenná - rekonstrukce	m2		
75	Ohumusování svahu vč. omíce, rohože, osetí, odplevelení a zalévání	m2		Součástí SO spodku
76	Příkopový oteplení z tvárnic	m		
92	Příplatek za výkopy ve skalním podloží	m3	6,00	
93				
94	Odpady (beton kámen, asfalt) - skládkové	t	255,20	Nevpisovat poč. m. j - položka se počítá sama
95	Zemina, zbytky po recyklaci - skládkové	t	567,00	Nevpisovat poč. m. j - položka se počítá sama
96	Staven. příjezdová komunikace - zpevnění polní cesty šterkově	m2	1.140,00	380*3
97	Staven. příjezdová komunikace panelová vč. odstranění	m2		
98	Zařízení staveniště vč. přípojek	m2	GZS	

Název akce	Optimalizace trati Karlštejn (mimo) - Beroun (mimo)	stránka	/	celkem
Vypracoval	Ing. Jakub Mattuš	67	/	67